# Validation des hypothèses de simulation à l'aide d'essais

#### Conférence SNS

27/03/2014 – maison de la mécanique

François PICHOT

Fabien CORPACE

SNECMA GROUPE SAFRAN

Conception & Fabrication de moteurs aéronautiques





#### SIMULATION DU SOUDAGE CHEZ SAFRAN

→ Code MORFEO ( CENAERO / GEONX)

#### → Procédés simulés :

- Soudage Fusion
  - Faisceau d'Electrons, TIG, Plasma, Laser
- Soudage Friction
  - Inertielle et pilotée





- → Développement pour répondre à deux problématiques :
  - Compréhension des phénomènes en présence : Utilisation en support
  - Développements de gammes optimisées



/01/

## Soudage par Fusion



## SOUDAGE FUSION CARTER D'ÉCHAPPEMENT

#### → Carter échappement

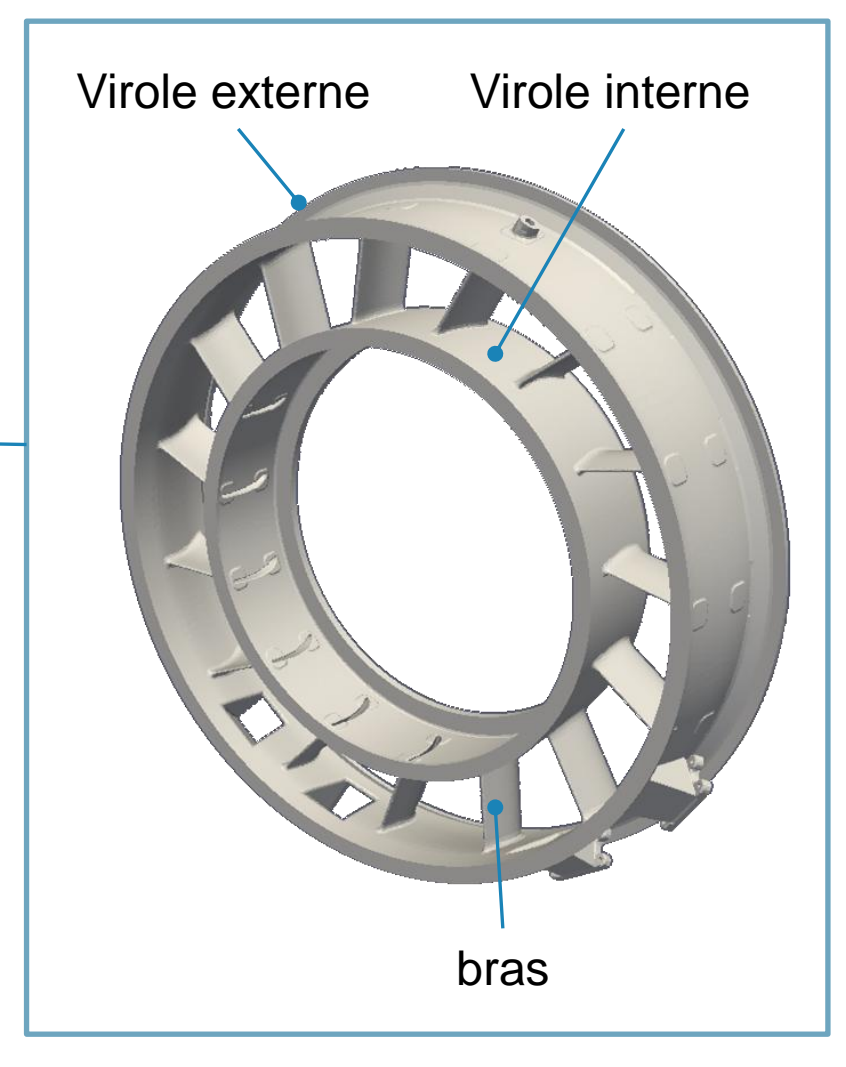
- Assemblage de 3 types composants
- 30 cordons de soudure
- Superalliage base Nickel
- Diamètre ~ 1m



#### → Nouvelle conception

- Procédé ?
- Gamme d'assemblage?
- Modes de déformation?



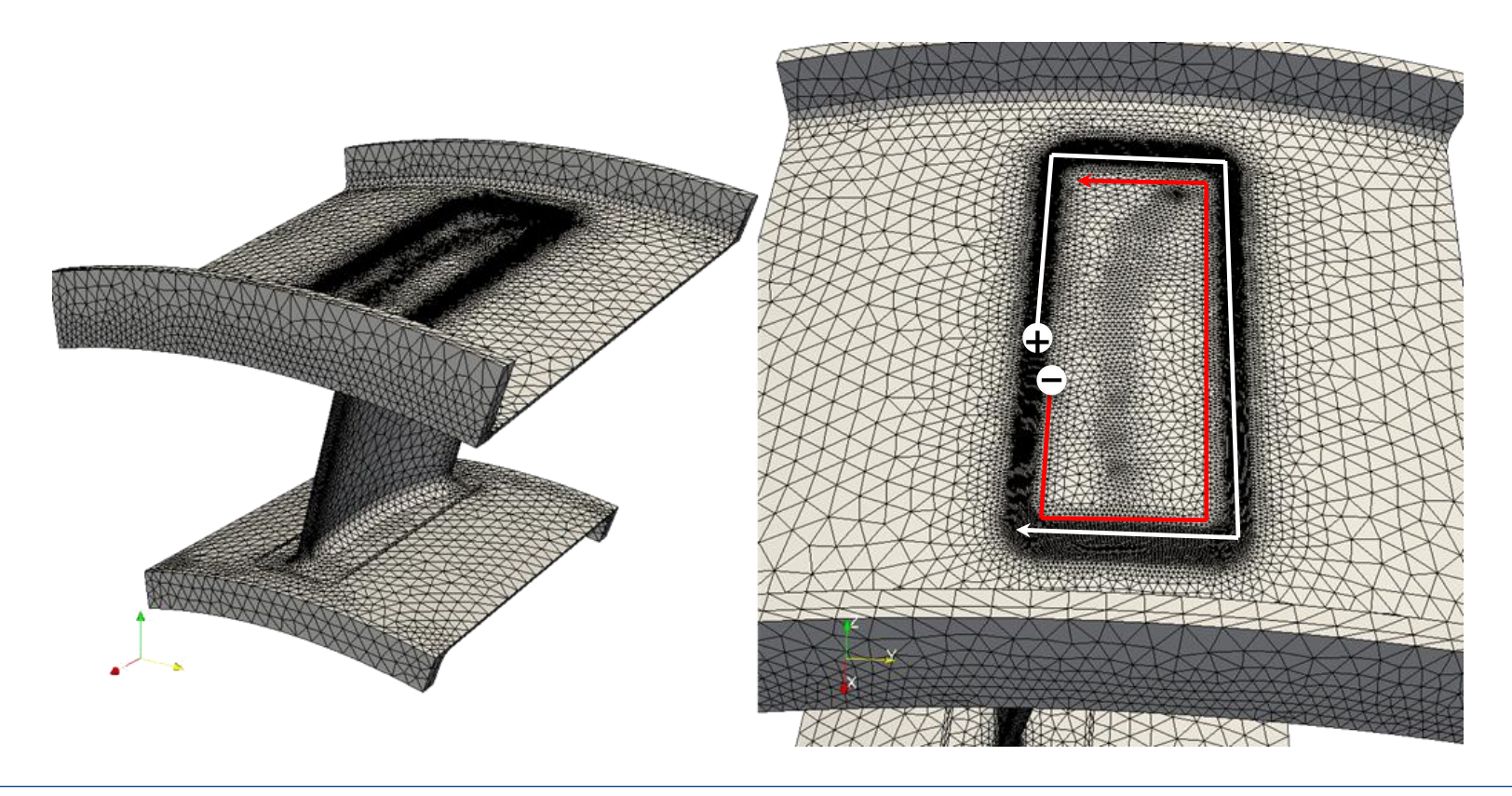




## SOUDAGE FUSION SECTEUR CARTER

#### → Modélisation soudage « secteur »

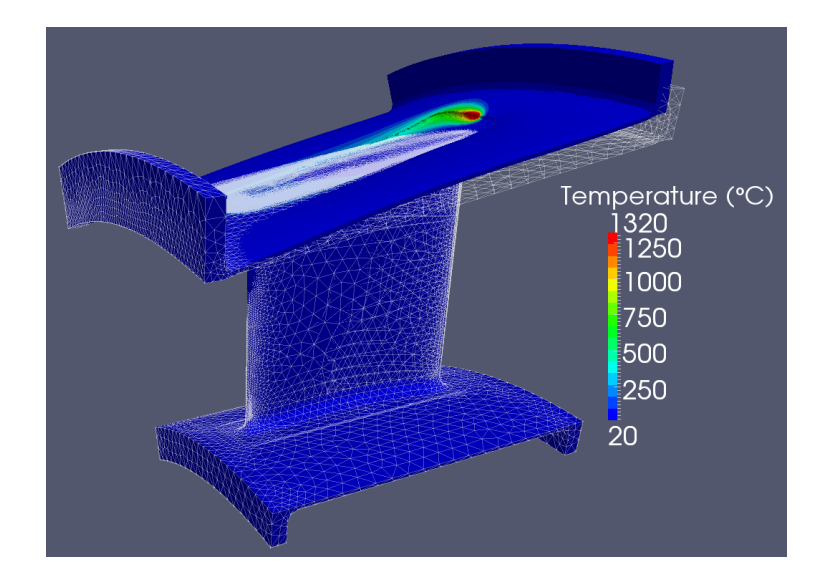
- Impact de la gamme
- Sens de rotation : horaire (+) ou antihoraire (-)





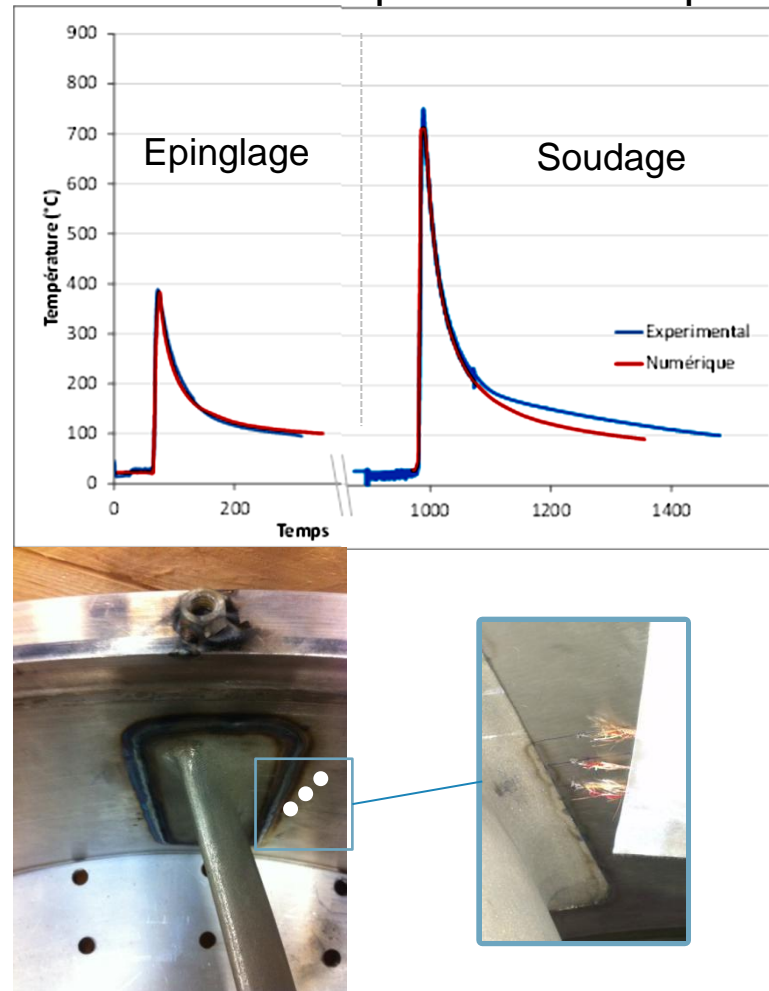
## SIMULATION THERMOMÉCANIQUE BRAS CARTER / VIROLES

- → Source de chaleur double ellipsoïde
- → Convection rayonnement



#### → Validations expérimentales

Mesure de T par thermocouples

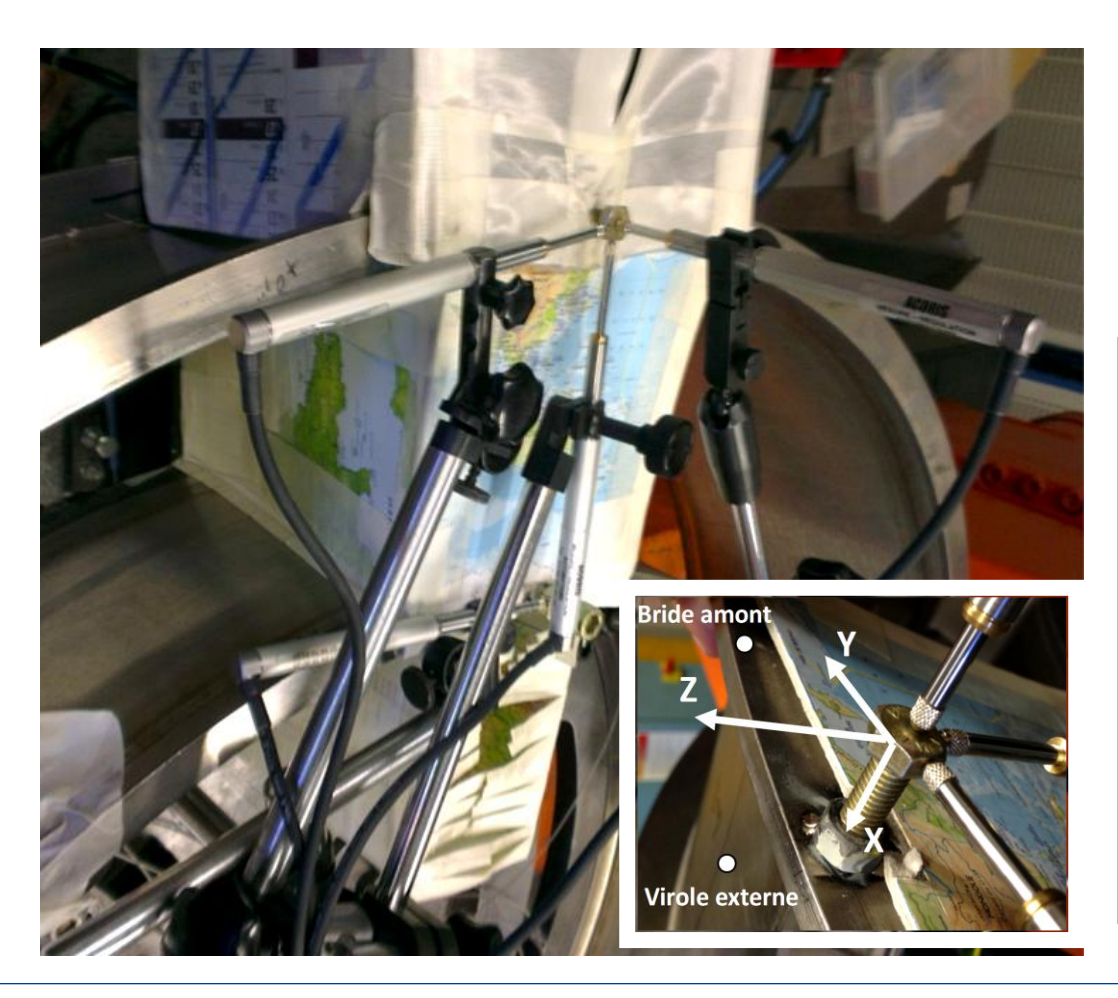


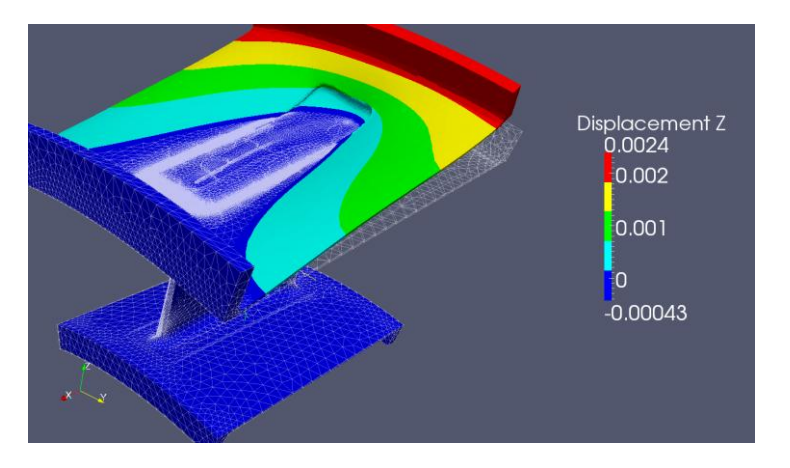


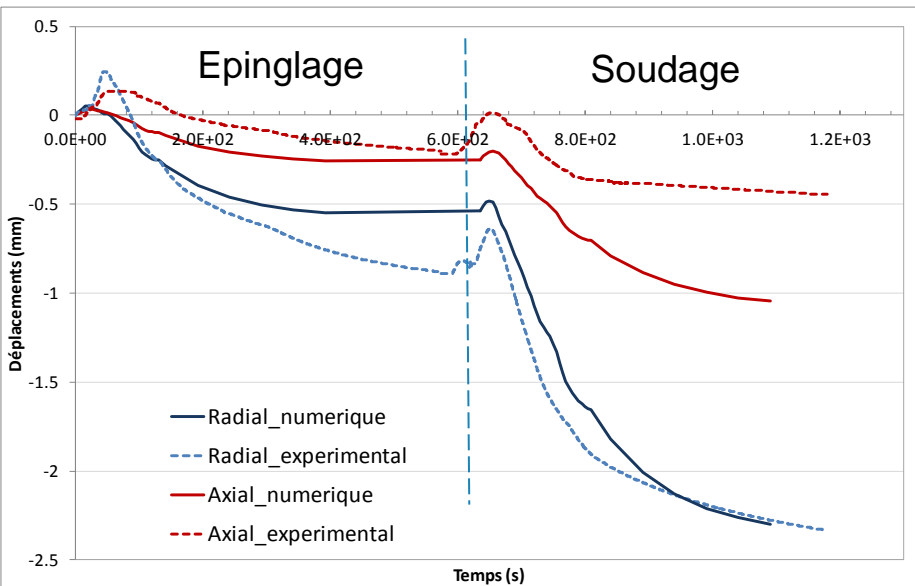
## SIMULATION THERMOMÉCANIQUE BRAS CARTER / VIROLES

#### → Validations expérimentales

Mesures de déplacements







Déplacements vs temps



## BRAS CARTER / VIROLES ANALYSE EXPÉRIMENTALE

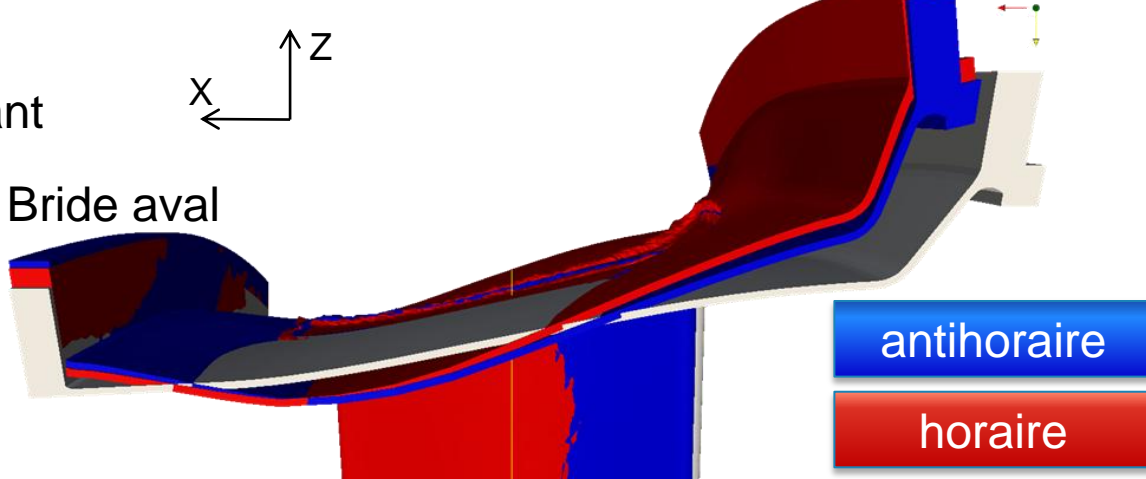
#### Modes de déformations observés

Mise en parapluie de la bride amont, rétrécissement du diamètre virole

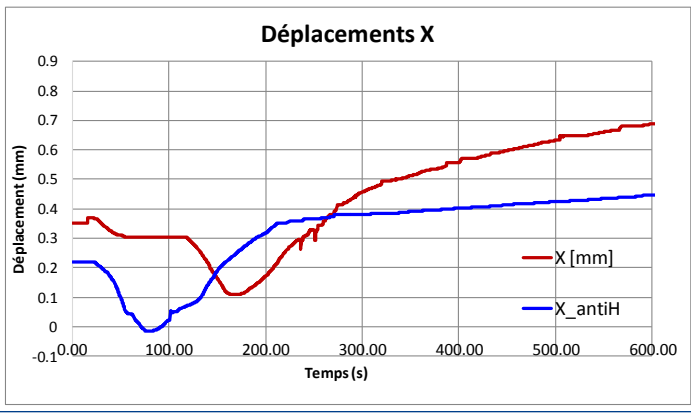
Bride amont

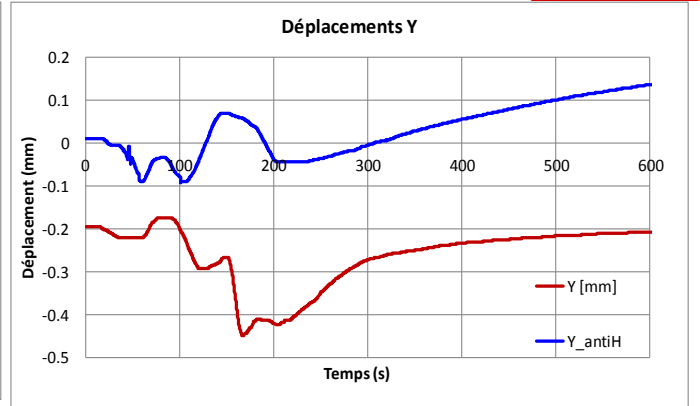
#### → Impact du sens de rotation?

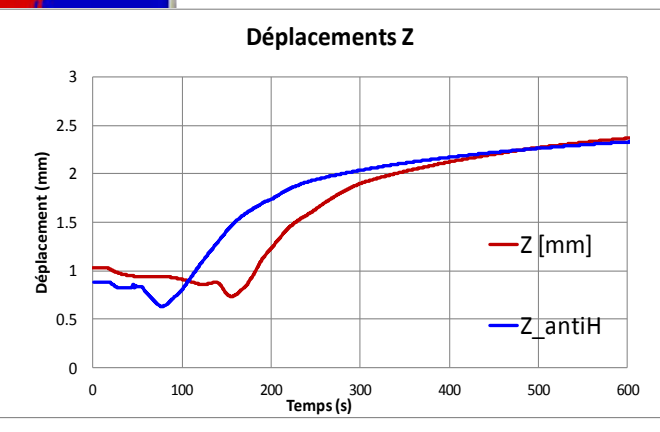
Sens antihoraire moins déformant



#### → Analyse expérimentale: Idem



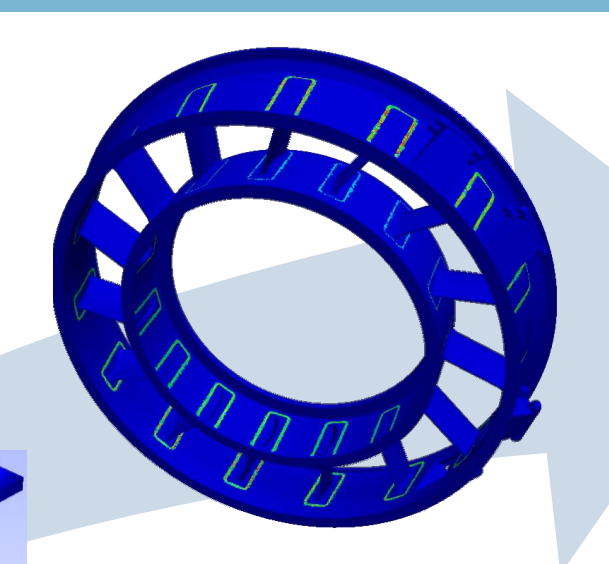




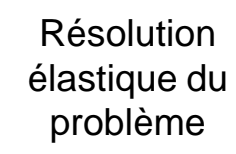


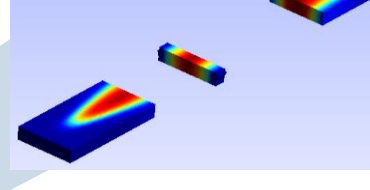
## MODÉLISATION GLOBALE

→ Principe

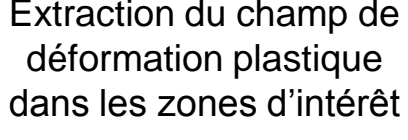


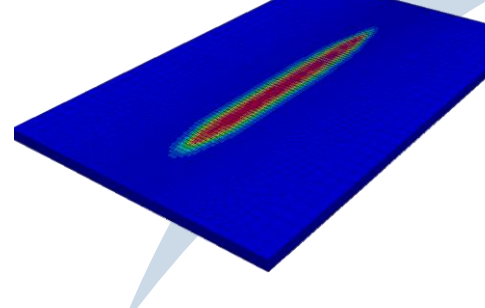
Import du champ de déformation plastique dans géométrie globale ( suivant trajectoires)





Extraction du champ de déformation plastique





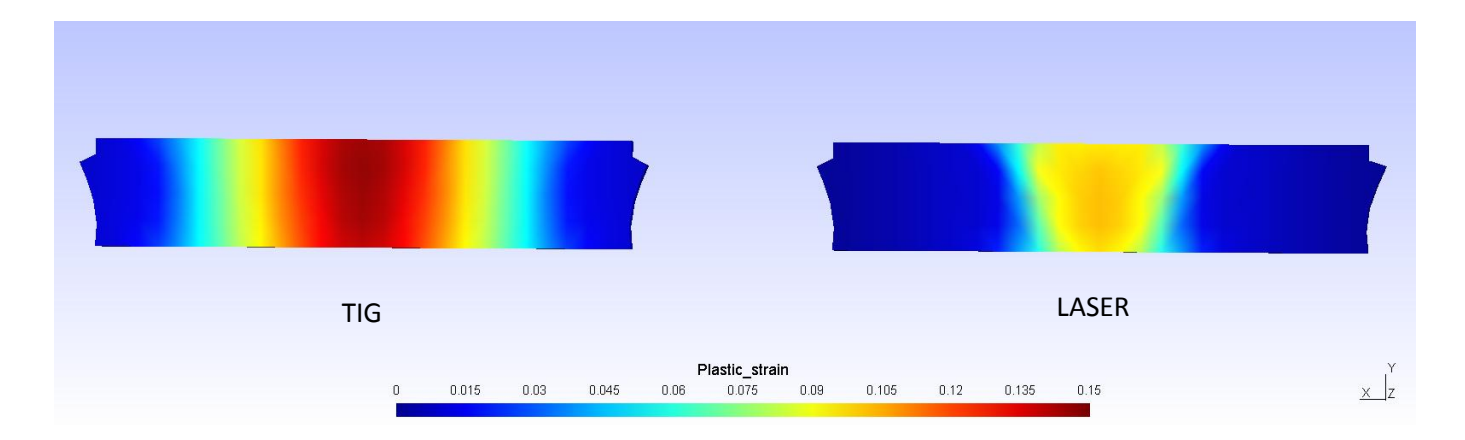
Simulation complète géométrie éprouvette



## ANALYSE DE L'IMPACT DU PROCÉDÉ

#### → Modélisation locale:

Confrontation de deux procédés: champs de déformation plastique

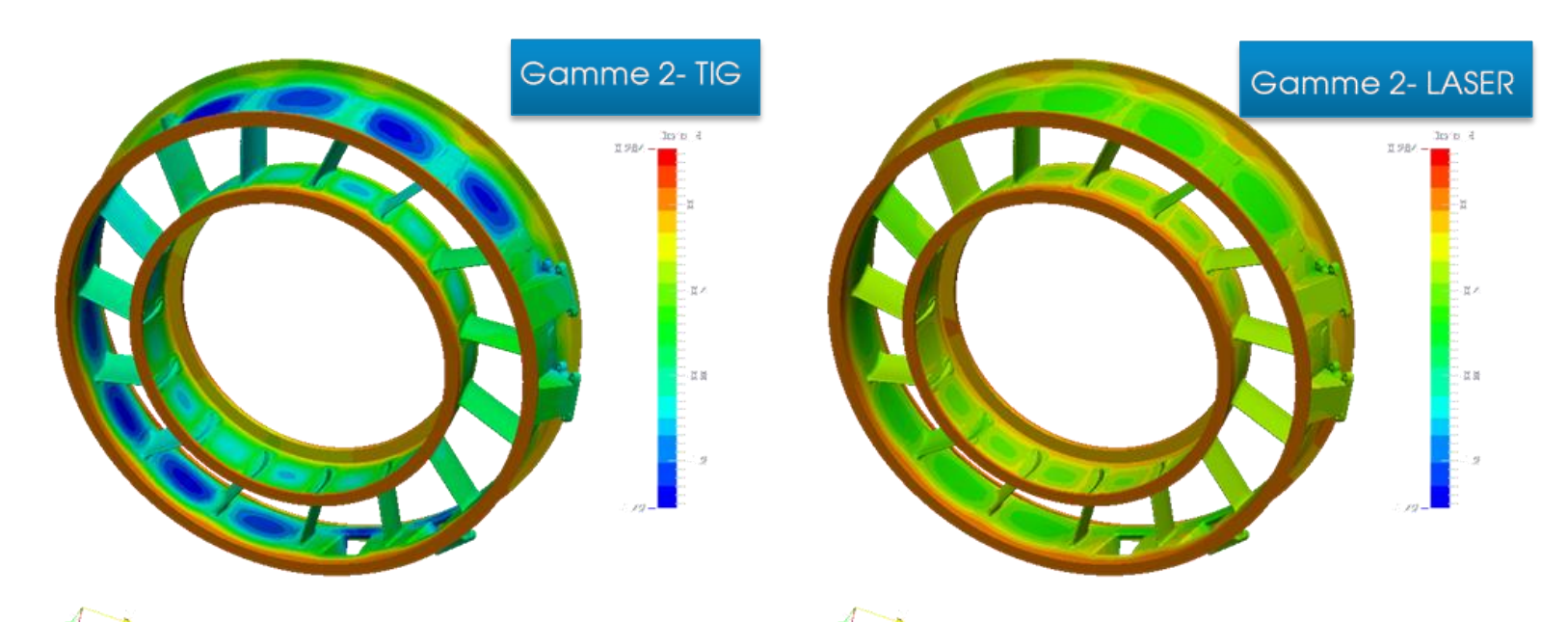


- → Zone déformée plastiquement plus restreinte en LASER
- → Utilisation dans modélisation globale (1M éléments)



## COMPARAISON PROCÉDÉS

→ Modes de déformations conformes aux prévisions



- → Distorsions plus importantes en TIG / LASER (x2)
- → Estimation des déformées numériques / expérimental : facteur ½
- → Temps de calcul : 1h sur 64 Cpus pour 30 cordons



#### **CONCLUSIONS**

→ Utilisation de la simulation numérique pour anticiper des modes de déformation sur de nouvelles conceptions de pièces

→ Validation des simulations par l'expérimentation

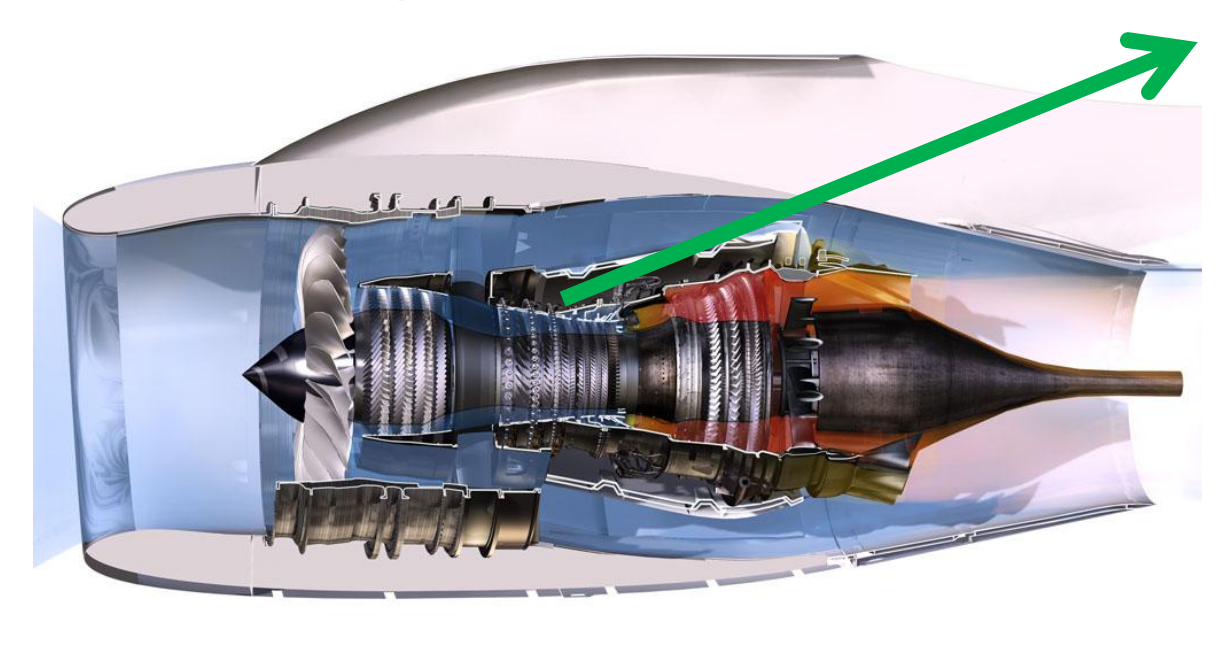
→ Modélisations multi-échelles (Local / global)

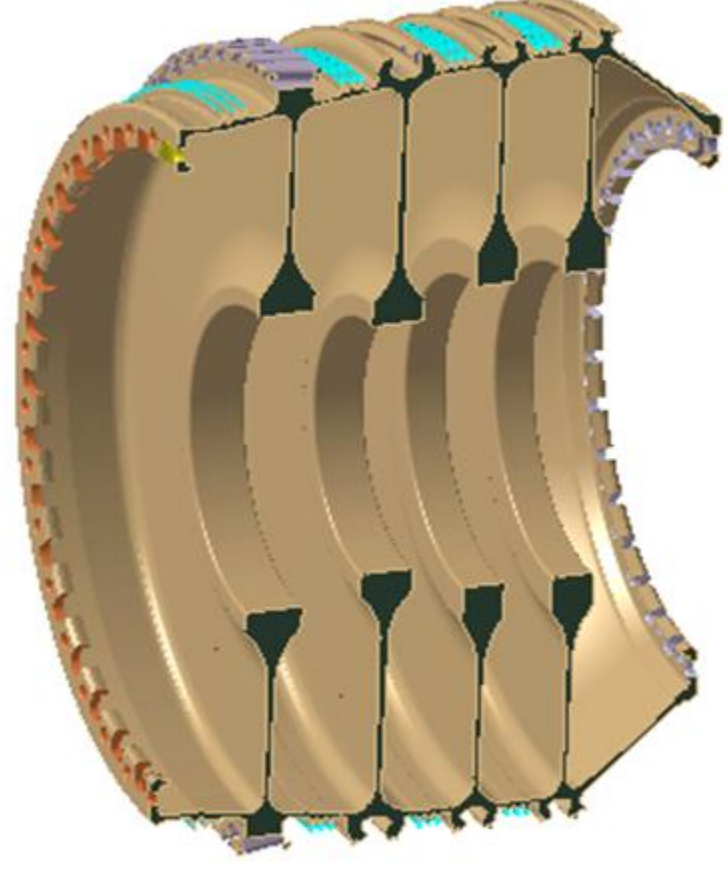
→ Choix d'un procédé d'assemblage



## **/02/**

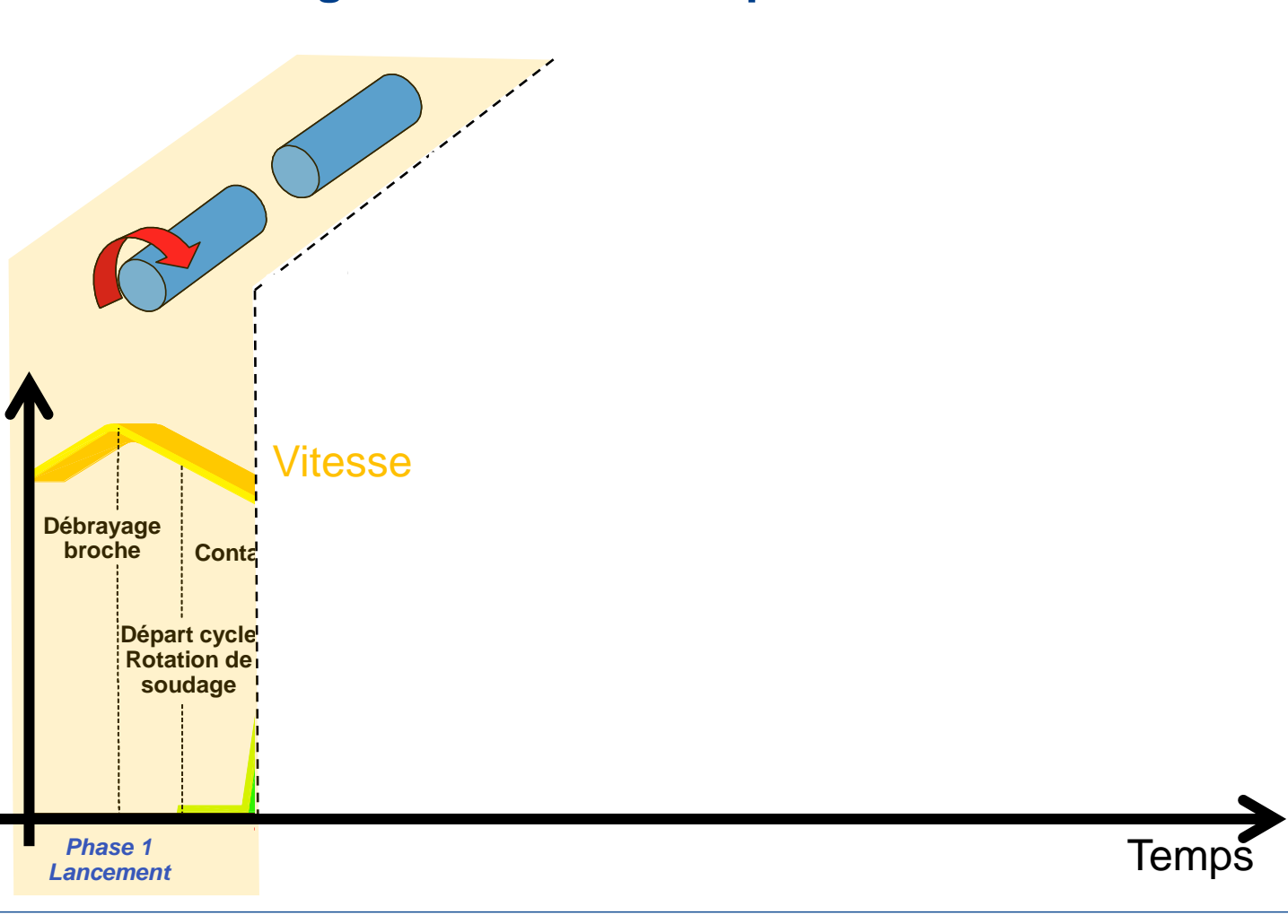
## Soudage par friction







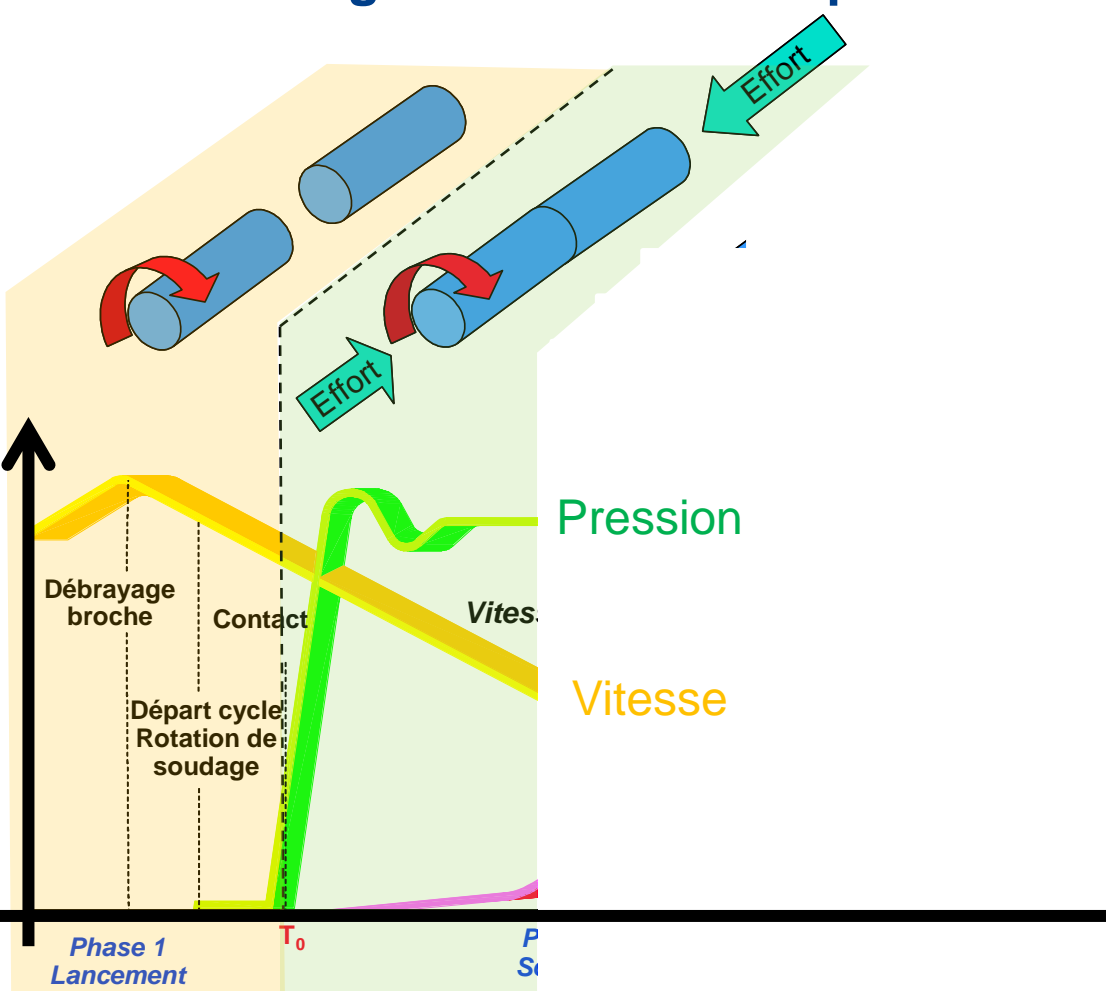
→ Le soudage se déroule en 3 phases



<u>Phase 1</u>: Une des pièces est mise en rotation puis débrayée (elle continue de tourner par inertie)



→ Le soudage se déroule en 3 phases



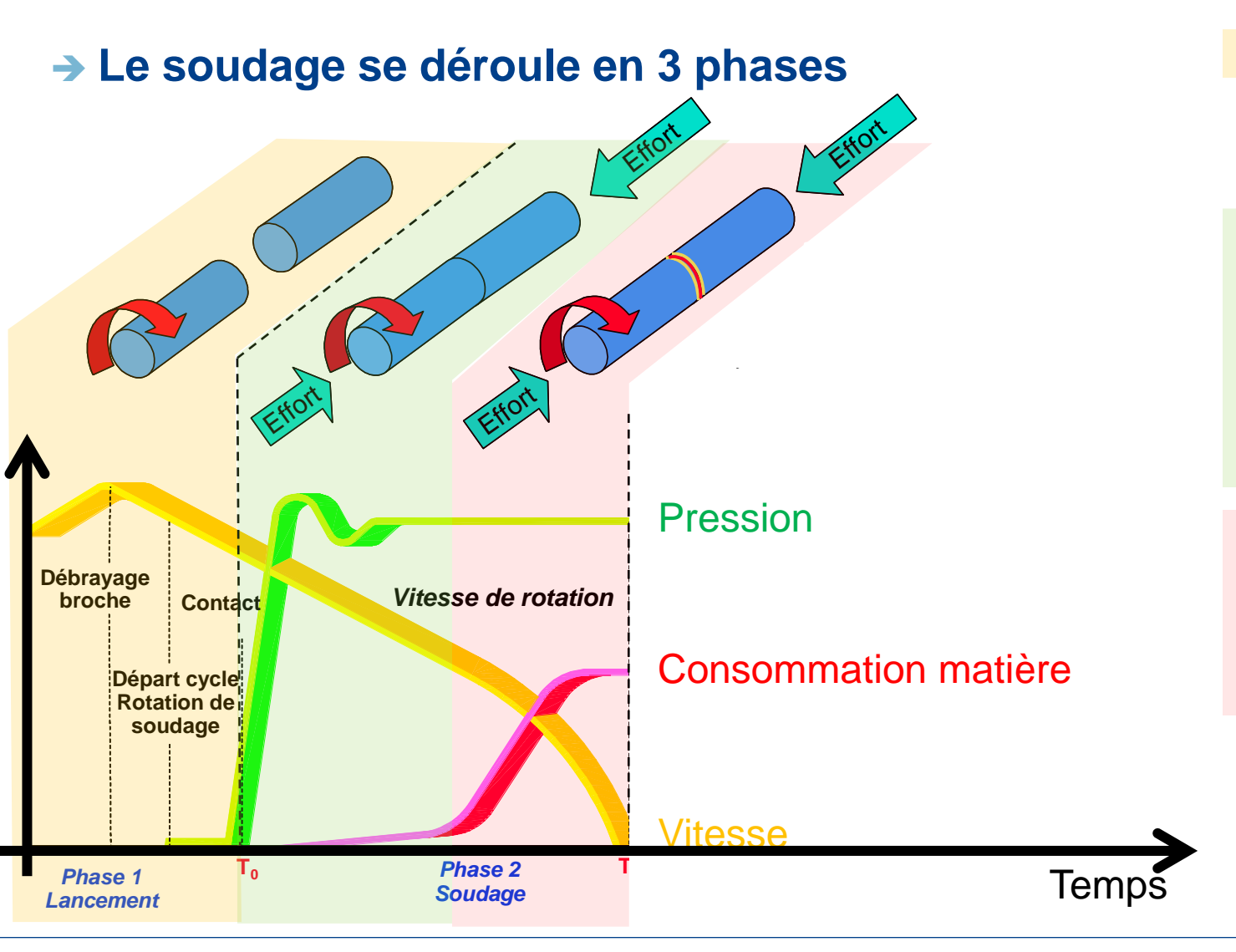
<u>Phase 1</u>: Une des pièces est mise en rotation puis débrayée (elle continue de tourner par inertie)

<u>Phase 2 a :</u> Les deux pièces sont mises en contact sous l'effet d'un effort de pression constant -La rotation diminue librement (freinage)

- Les pièces s'échauffent localement (frottement)



Temps



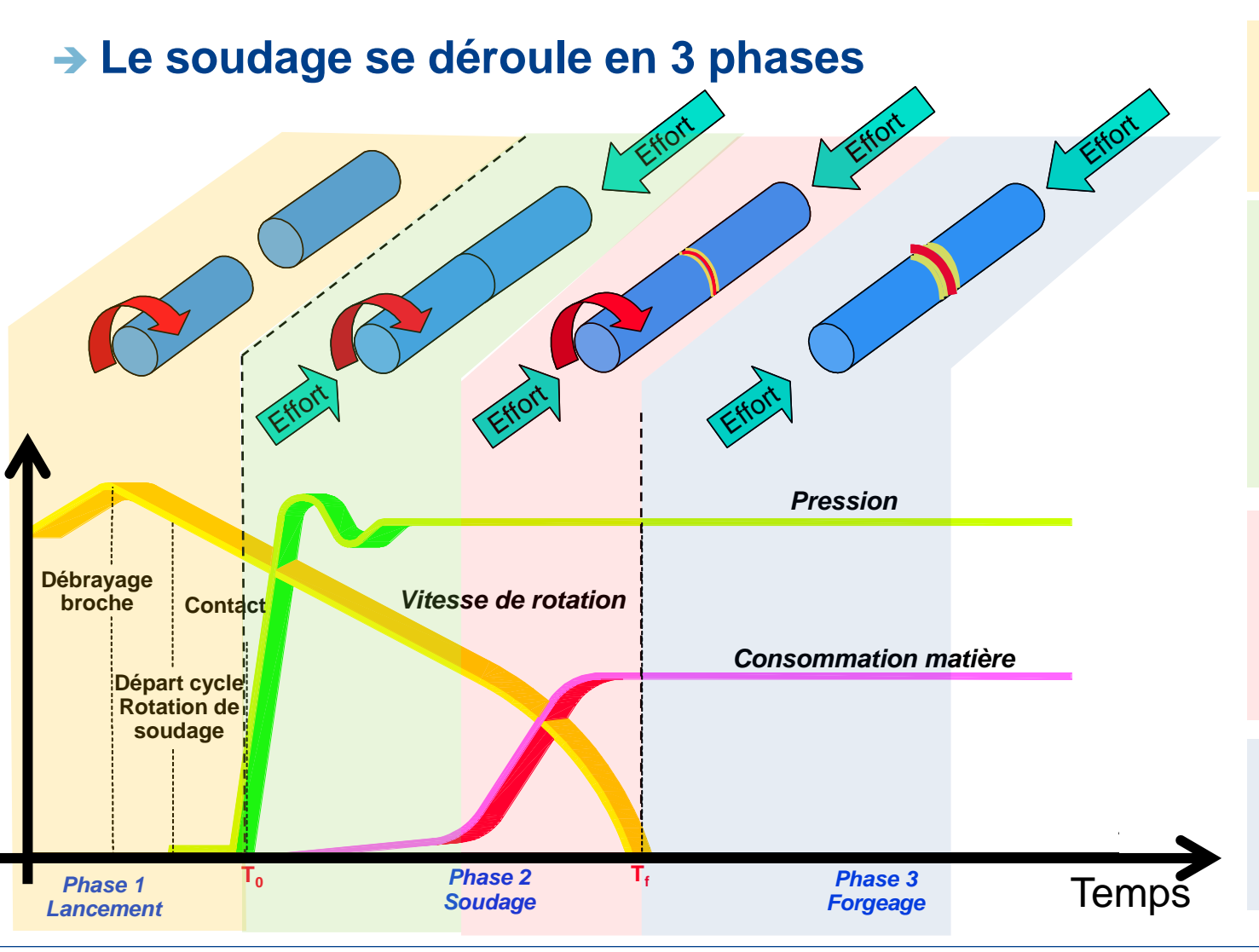
<u>Phase 1</u>: Une des pièces est mise en rotation puis débrayée (elle continue de tourner par inertie)

Phase 2 a : Les deux pièces sont mises en contact sous l'effet d'un effort de pression constant -La rotation diminue librement (freinage)

- Les pièces s'échauffent localement (frottement)

Phase 2 b : Sous l'effet de la chaleur et de l'effort, les pièces se déforment (l'ensemble se raccourci). La vitesse de rotation continue de diminuer.





<u>Phase 1</u>: Une des pièces est mise en rotation puis débrayée (elle continue de tourner par inertie)

Phase 2 a : Les deux pièces sont mises en contact sous l'effet d'un effort de pression constant -La rotation diminue librement (freinage)

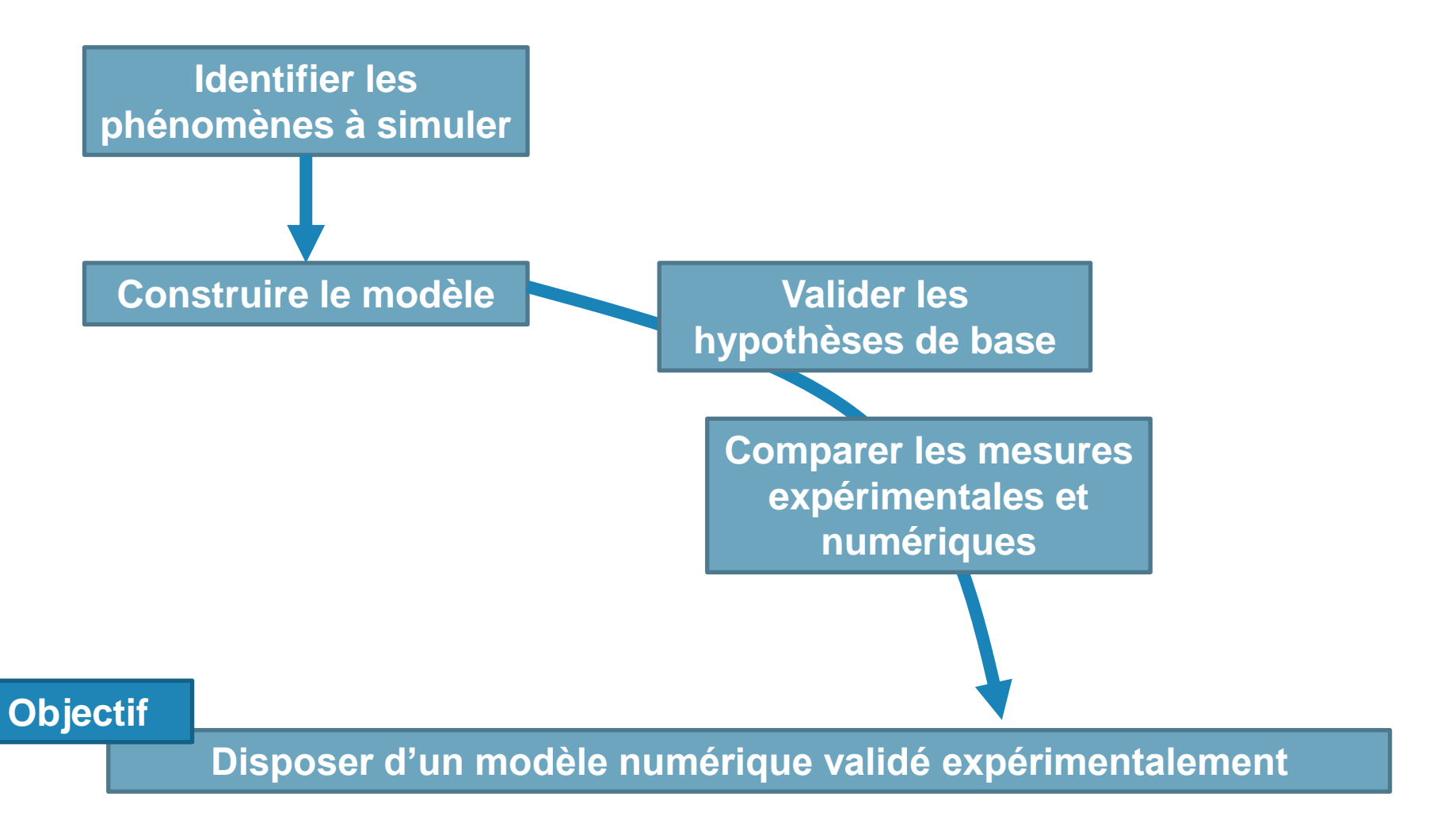
 Les pièces s'échauffent localement (frottement)

Phase 2 b : Sous l'effet de la chaleur et de l'effort, les pièces se déforment (l'ensemble se raccourci). La vitesse de rotation continue de diminuer.

<u>Phase 3 :</u> Lorsque la pièce a entièrement décéléré, les pièces refroidissent pendant que l'effort est maintenu constant

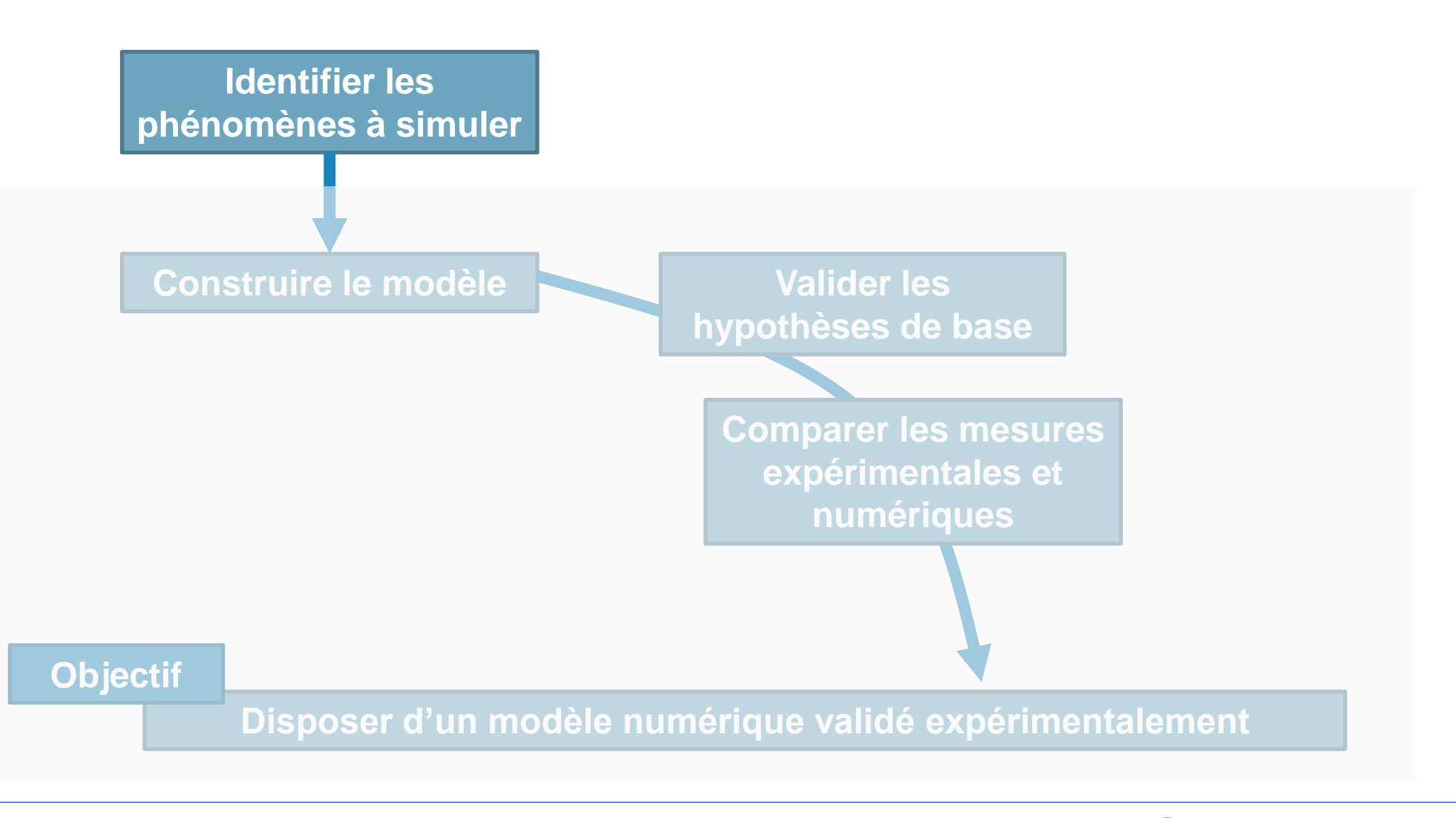


## **OBJECTIFS ET MÉTHODES**





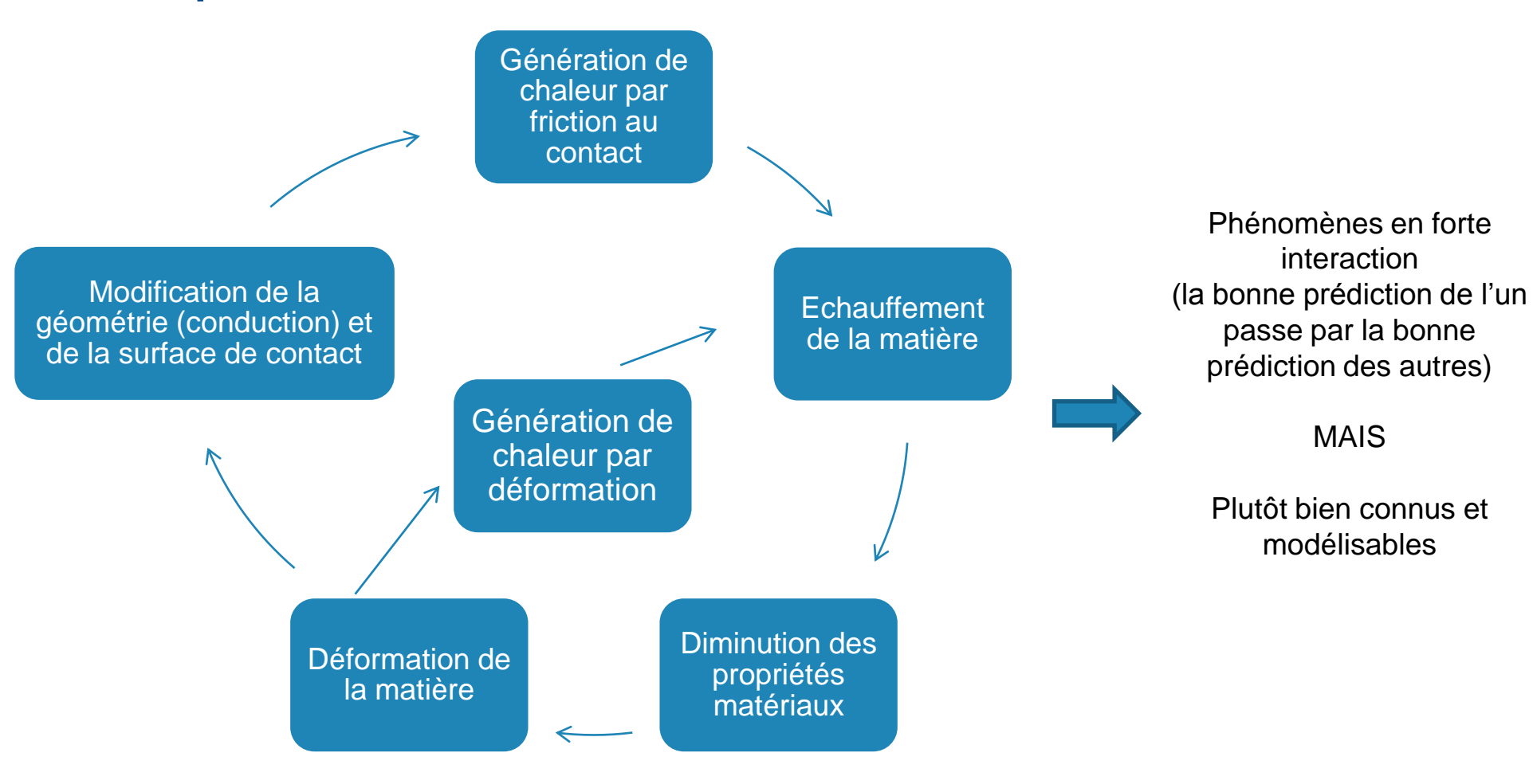
#### **SOMMAIRE**





## LA SIMULATION DU PROCÉDÉ

#### → Quels phénomènes simuler ?





### LA SIMULATION DU PROCÉDÉ

→ Un modèle complet Génération de Lois tribologiques: chaleur par friction au Coulomb? Norton? ... contact Modification de la **Echauffement** géométrie (conduction) et de la matière de la surface de contact (terme source interne + source au contact) Génération de (mise à jour de la chaleur par position du déformation maillage + remaillage) Diminution des Lois matériaux : Déformation de propriétés la matière Vp? EVP? matériaux

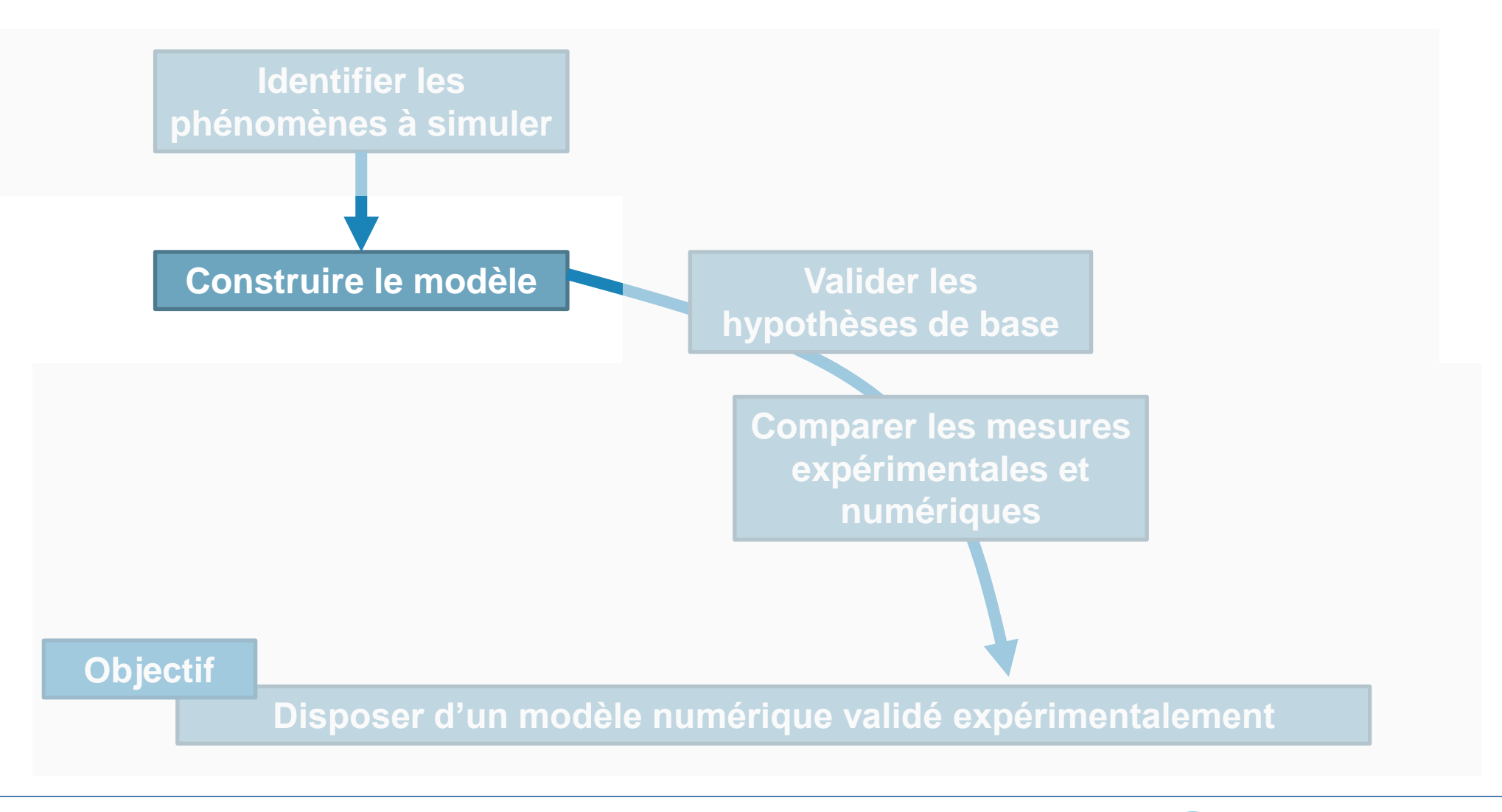


## LA SIMULATION DU PROCÉDÉ

→ Un modèle simplifié Génération de Source de chaleur **Lois tribologiques:** chaleur par friction au équivalente + contact Forces de friction Modification de la **Echauffement** géométrie (conduction) et de la matière de la surface de contact (terme source interne + source au contact) Génération de (mise à jour de la chaleur par position du déformation maillage + remaillage) Diminution des Lois matériaux : Déformation de propriétés la matière Loi viscoplastique de Norton Hoff matériaux



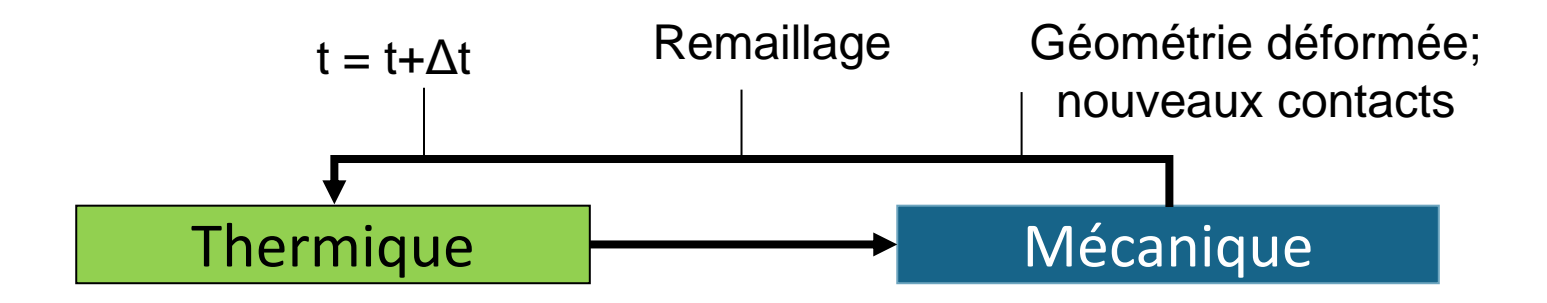
#### **SOMMAIRE**





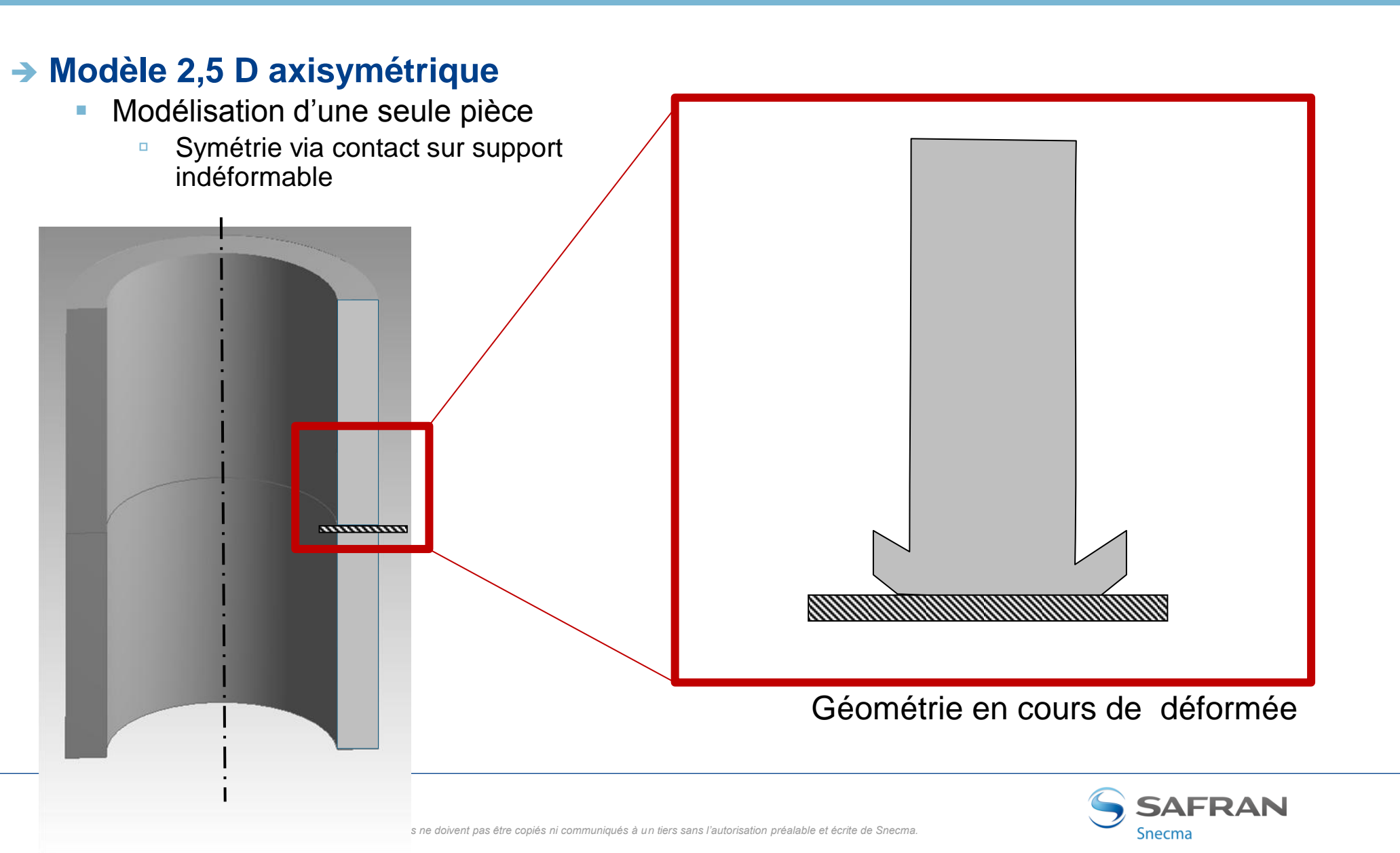
## LA SIMULATION DU PROCÉDÉ - RÉSOLUTION

- → Calcul mécanique en vitesse/pression
- → Thermique en lagrangien
- → Calcul étagé





## LA SIMULATION DU PROCÉDÉ - GÉOMÉTRIE



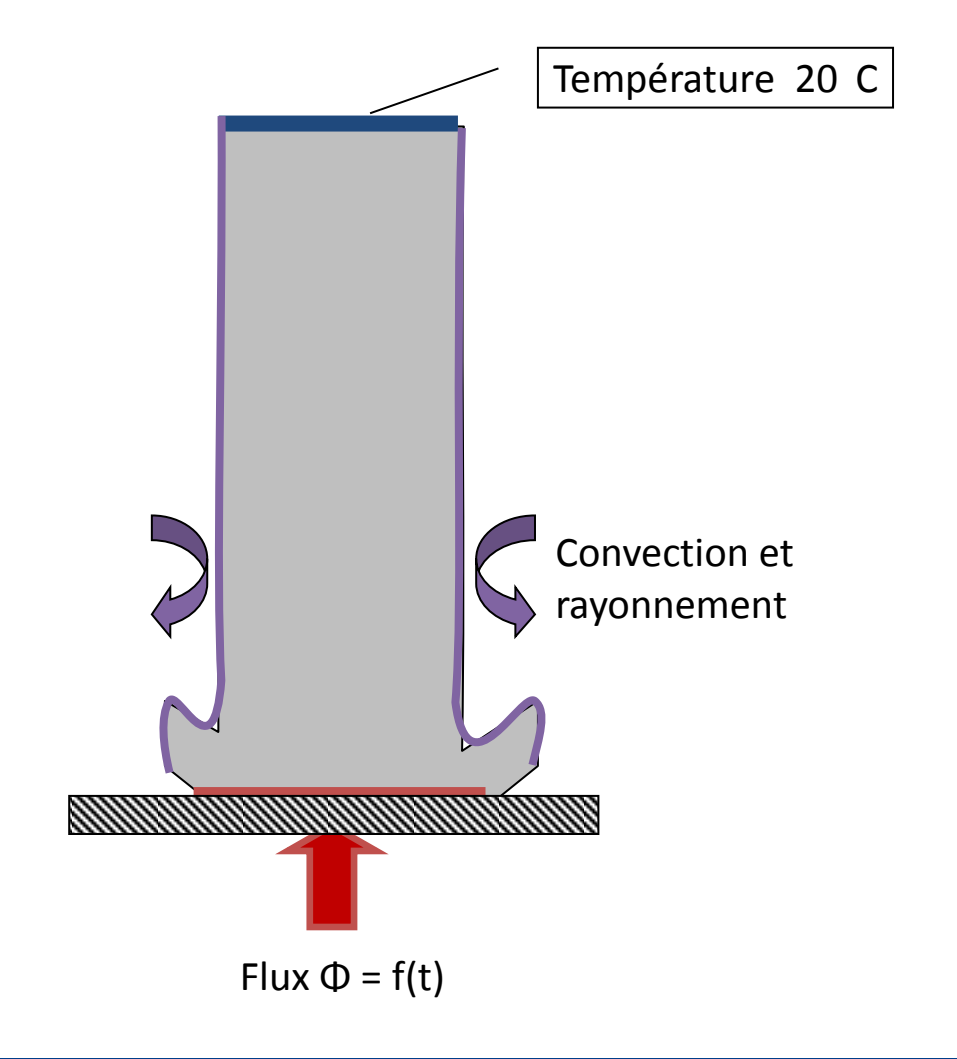
## LA SIMULATION DU PROCÉDÉ - CL

#### → Modèle 2,5 D axisymétrique

- Modélisation d'une seule pièce
  - Symétrie via contact sur support indéformable

#### **→ Thermique**

- Convection et rayonnement
- Température fixe sur le haut
- Flux variable imposé directement au contact (Flux uniforme)
- Prise en compte de l'extension de la zone de contact
- Prise en compte de la chaleur générée par déformation





## LA SIMULATION DU PROCÉDÉ - CL

#### → Modèle 2,5 D axisymétrique

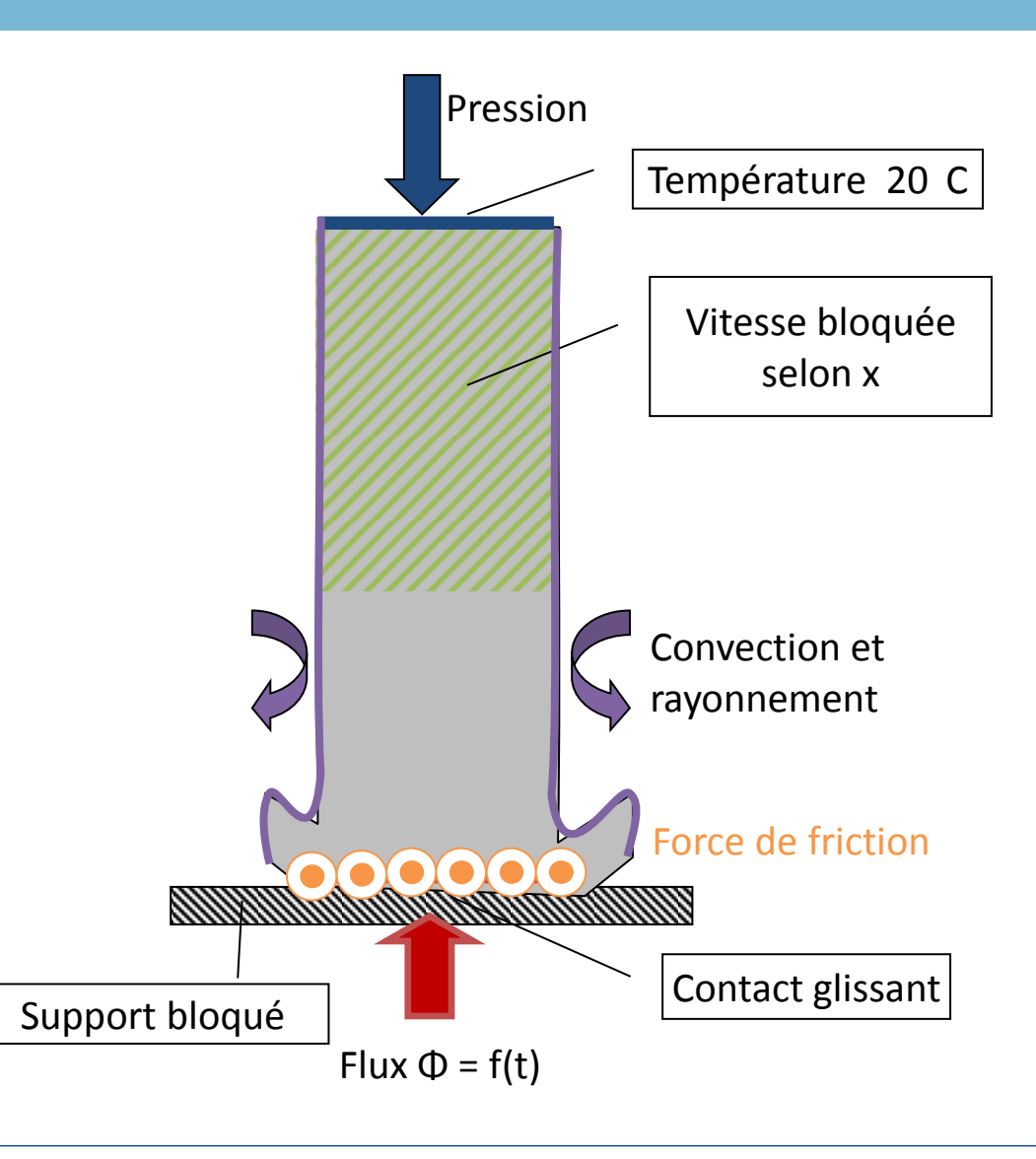
- Modélisation d'une seule pièce
  - Symétrie via contact sur support indéformable

#### **→ Thermique**

- Convection et rayonnement
- Température fixe sur le haut
- Flux variable imposé directement au contact (Flux uniforme)
- Prise en compte de l'extension de la zone de contact
- Prise en compte de la chaleur générée par déformation

#### → Mécanique

- Pression sur le haut du cylindre
- Déplacement radiaux bloqué
- Force de friction au contact (uniforme)





## LA SIMULATION DU PROCÉDÉ – CALCUL DU FLUX

- → Identification de la source de chaleur équivalente :
  - On connait la **vitesse de rotation**  $\omega$ =f(t)
  - On connait **l'inertie totale** de la pièce tournante J
  - On peut donc calcul l'énergie du système E en fonction du temps

$$E(t) = \frac{1}{2} J \omega^{2}(t)$$

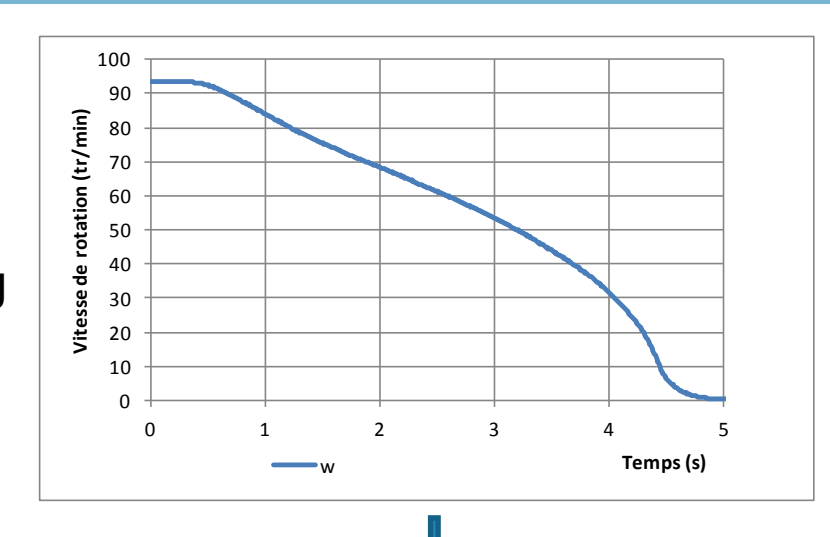
A partie de cette énergie on calcul la puissance dissipée en fonction du temps

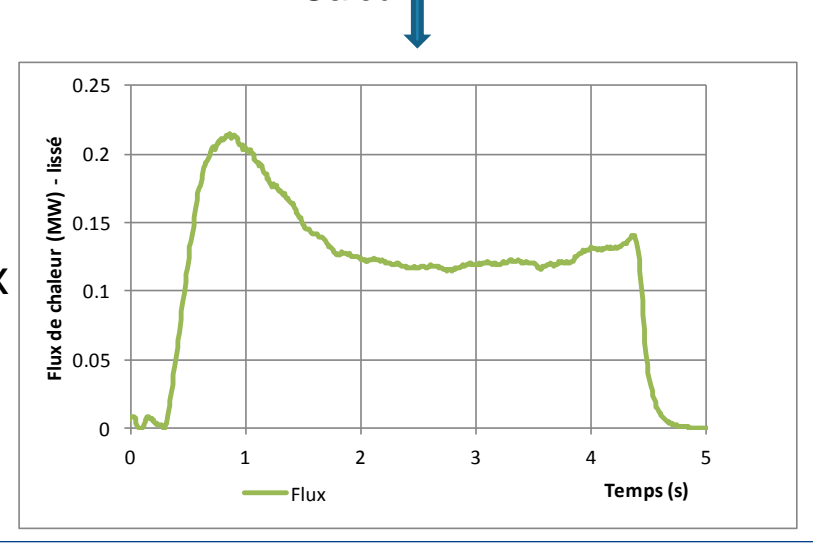
$$P(t) = dE/dt = J \omega * d\omega/dt$$

Cette puissance est introduite sous forme d'un flux à l'interface

$$\Phi(t) = -P(t)$$

Le flux est il réellement uniforme?





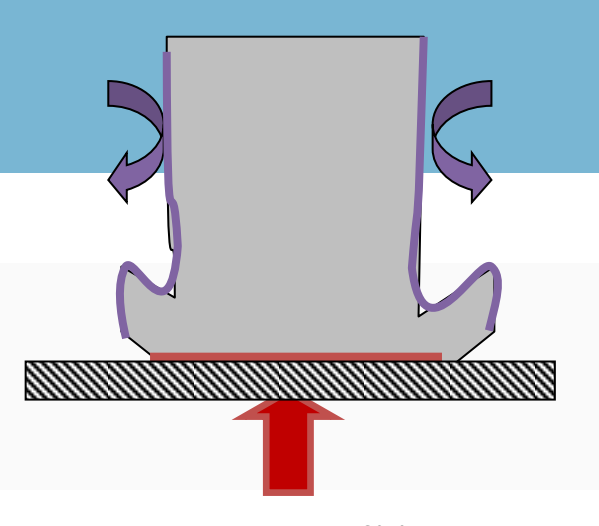




#### **SOMMAIRE**

Identifier les phénomènes à simuler

Construire le modèle



Valider les hypothèses de base Flux  $\Phi = f(t)$ Uniforme?

Comparer les mesures expérimentales et numériques

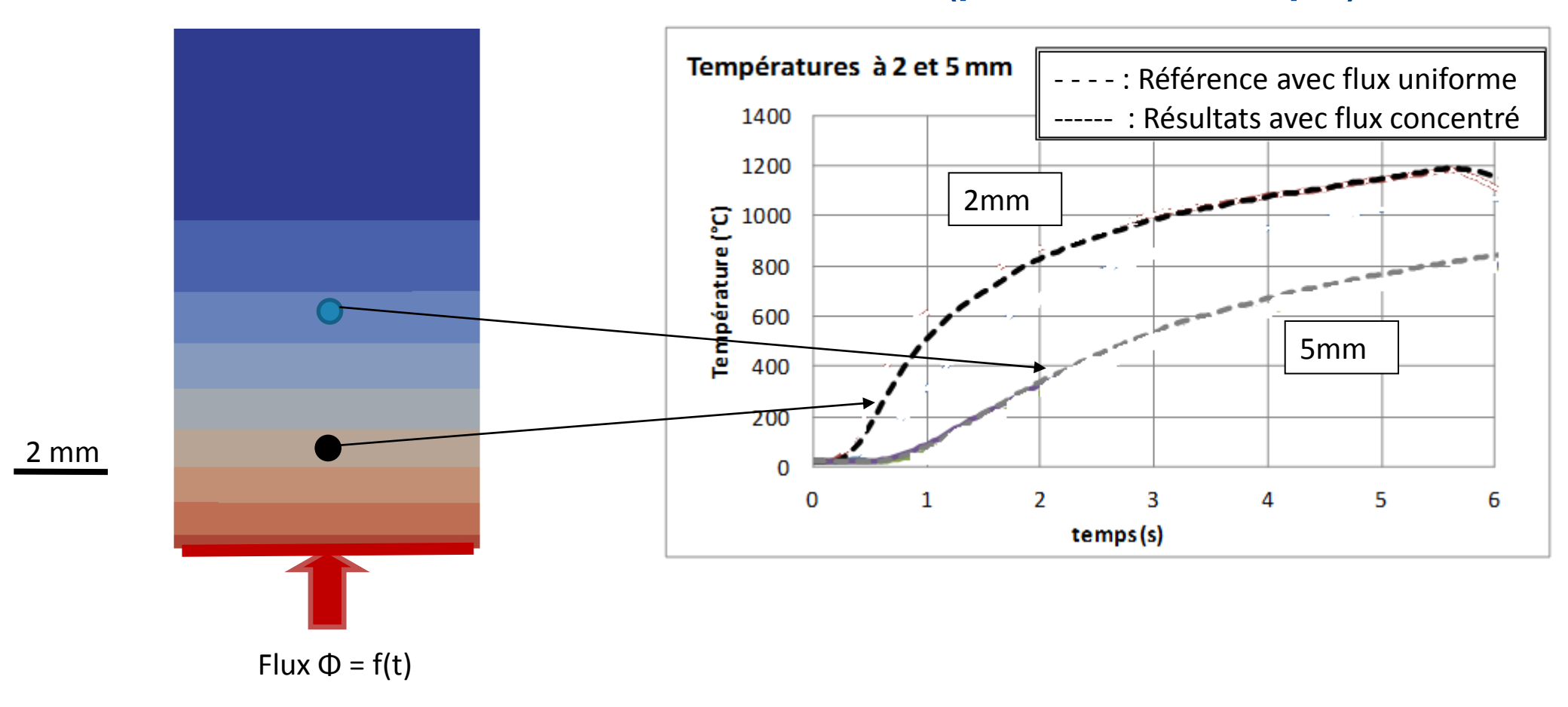
**Objectif** 

Disposer d'un modèle numérique validé expérimentalement



## ETUDE PRÉLIMINAIRE - NUMÉRIQUE

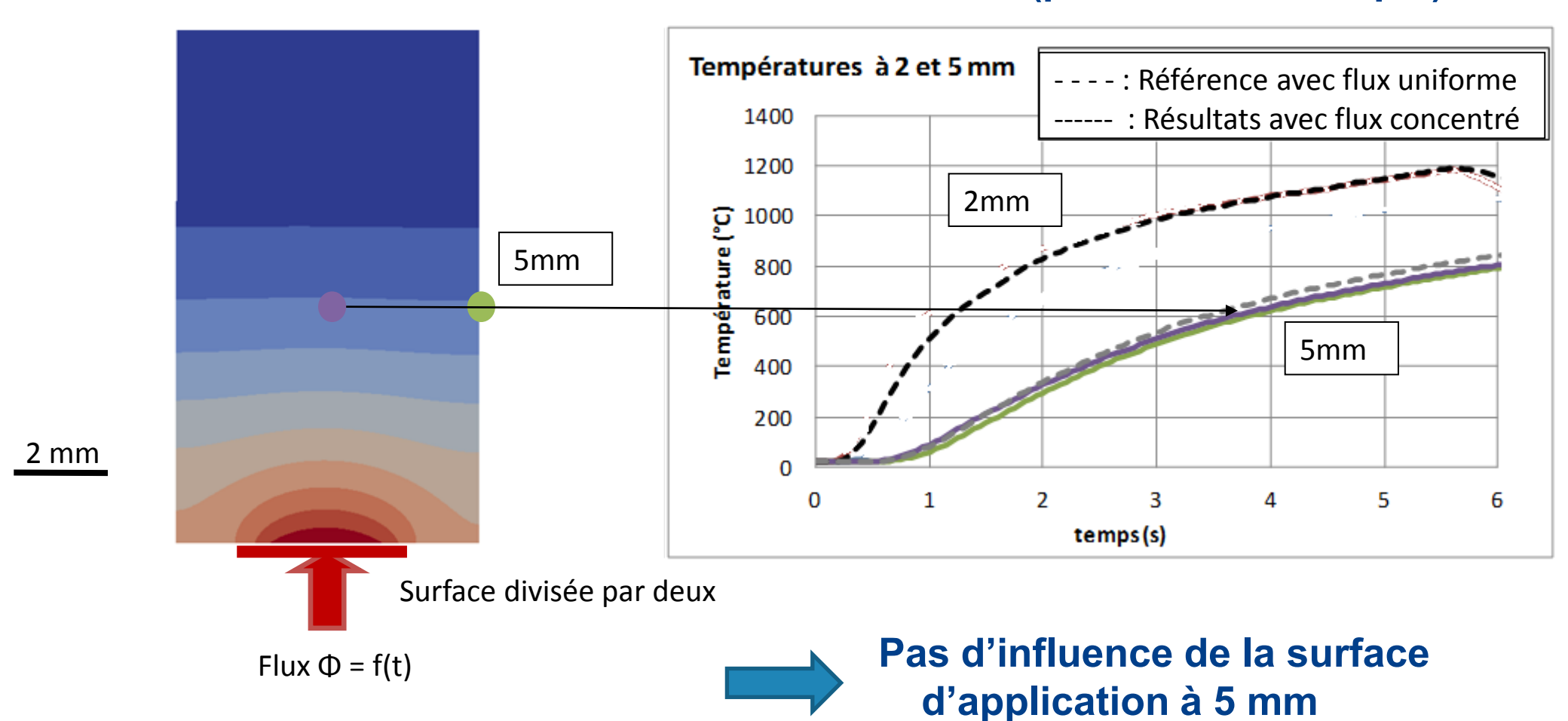
→ Simulation avec flux uniforme sur l'interface (purement thermique)





## ETUDE PRÉLIMINAIRE - NUMÉRIQUE

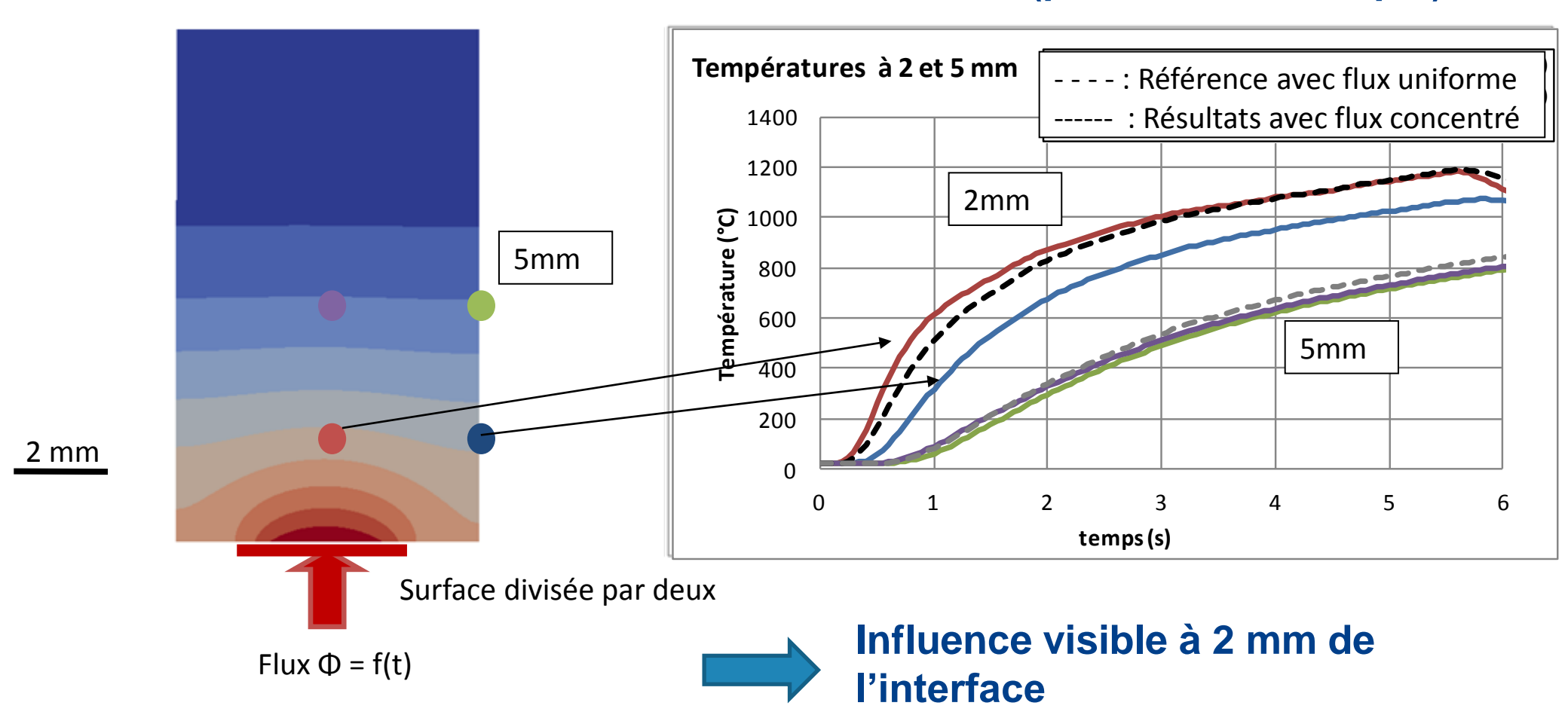
→ Simulation avec flux non uniforme sur l'interface (purement thermique)





## ETUDE PRÉLIMINAIRE - NUMÉRIQUE

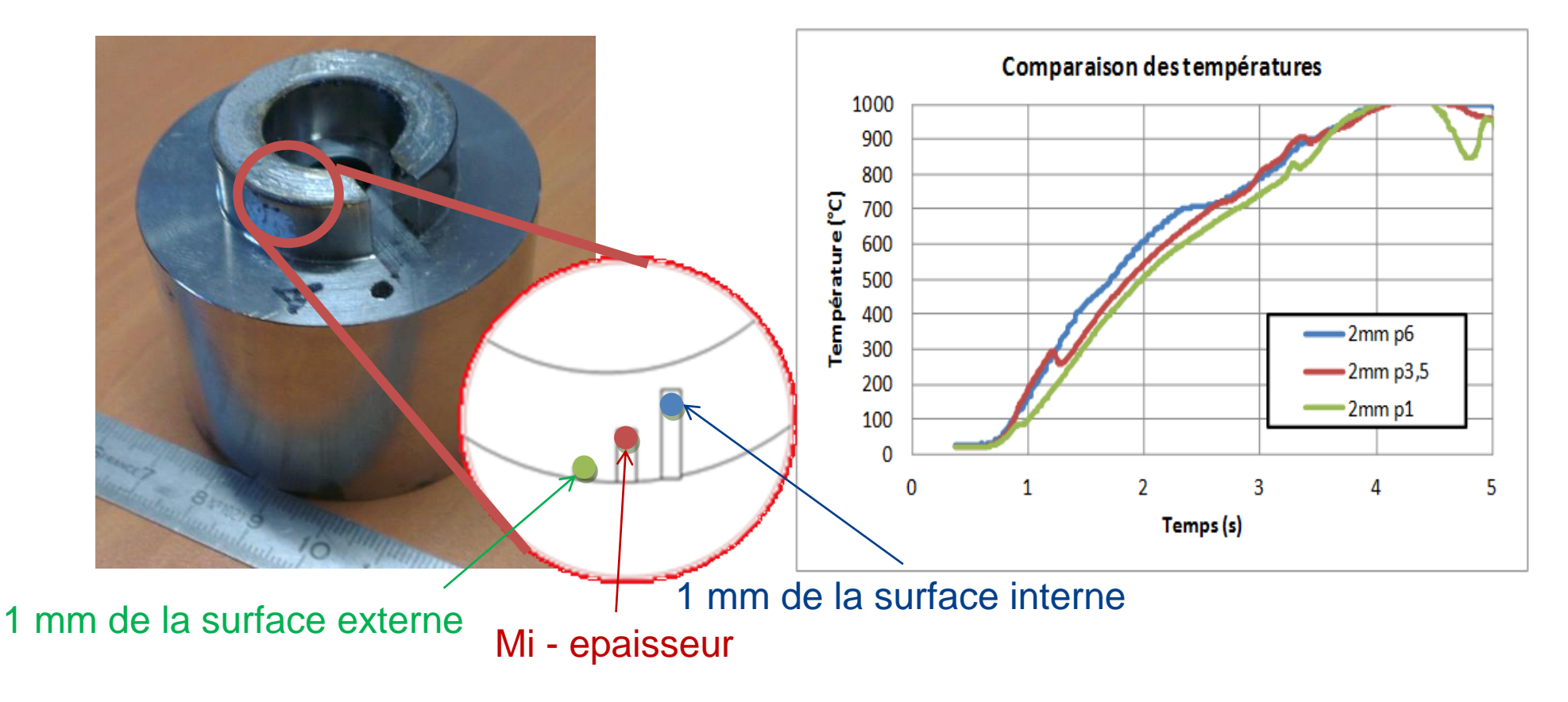
→ Simulation avec flux non uniforme sur l'interface (purement thermique)





## ETUDE PRÉLIMINAIRE EXPÉRIMENTALE

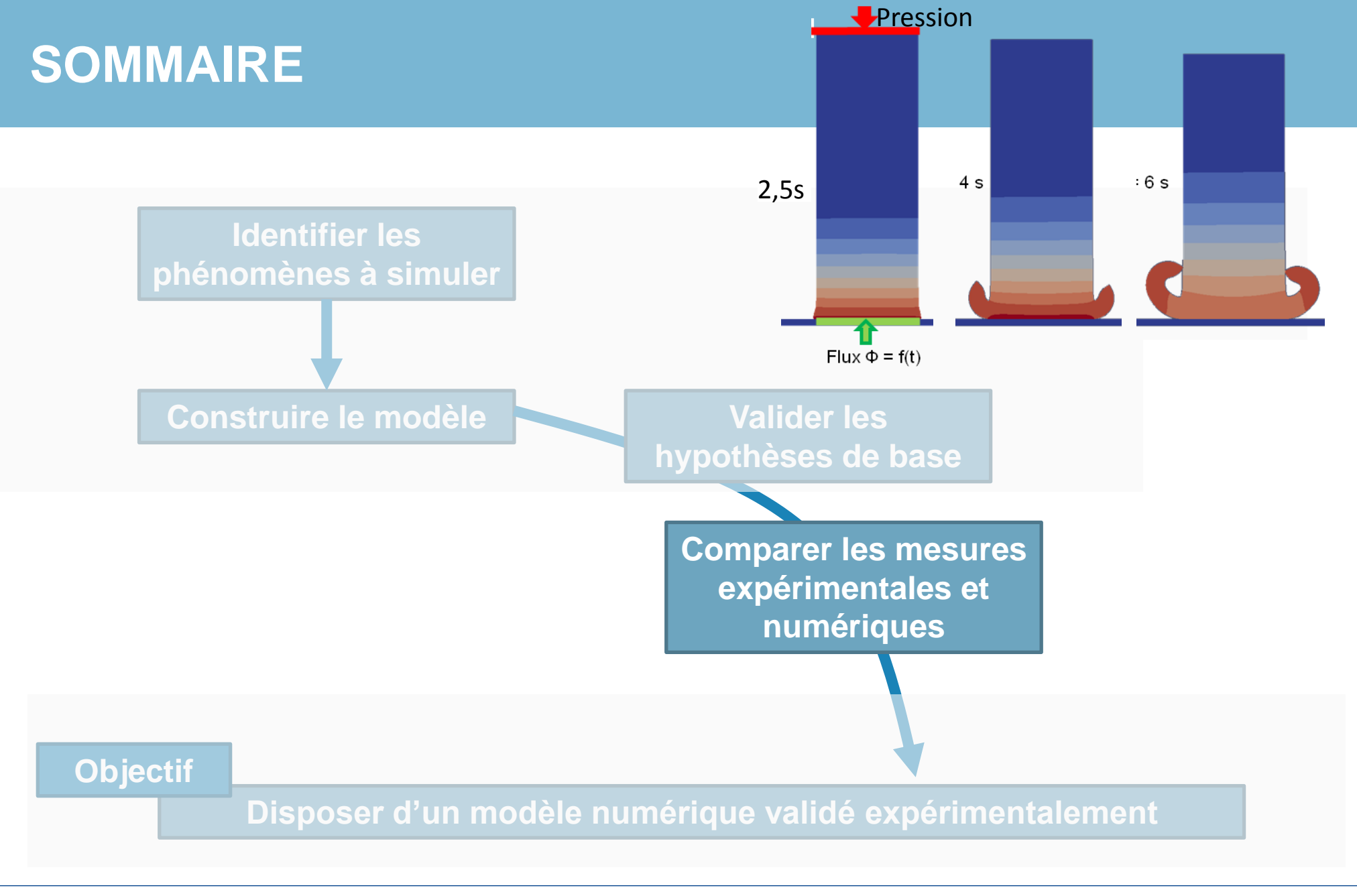
→ Eprouvette de soudage en base nickel avec 3 perçages à 2 mm de l'interface





Différence de température faible -> Validation de l'hyp. de flux uniforme

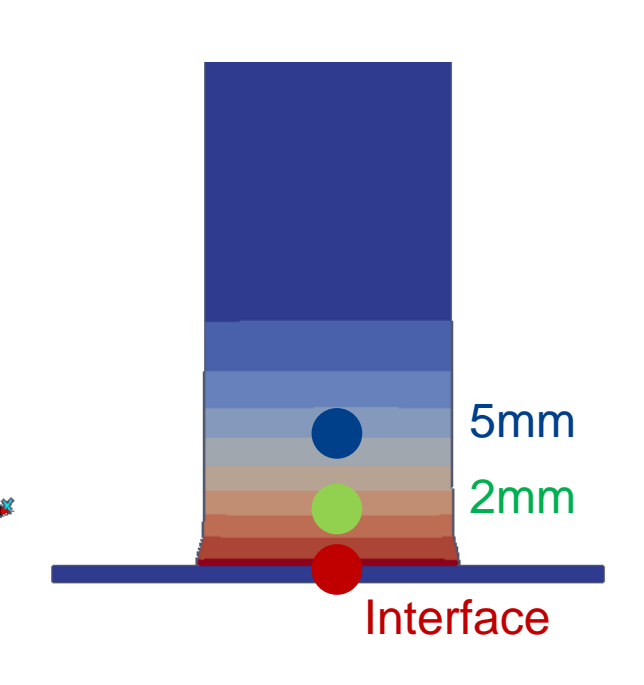


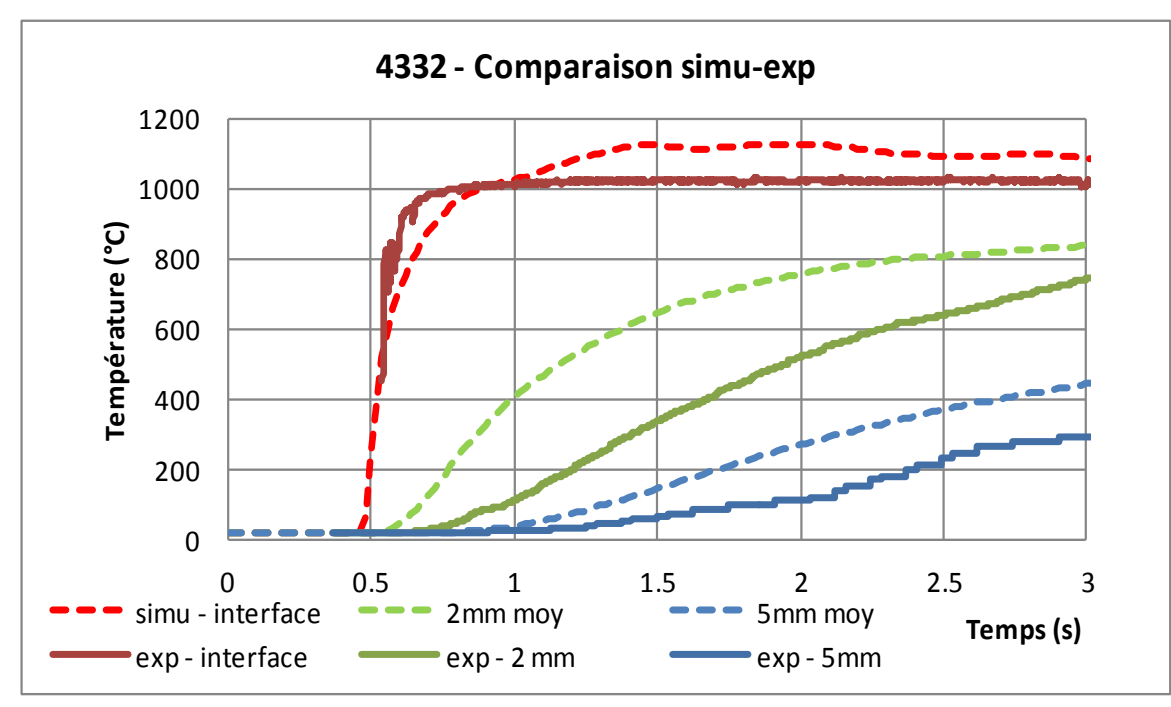




## COMPARAISON EXPÉRIMENTALE-NUMÉRIQUE

Comparaison portant sur les température durant la phase sans déformation





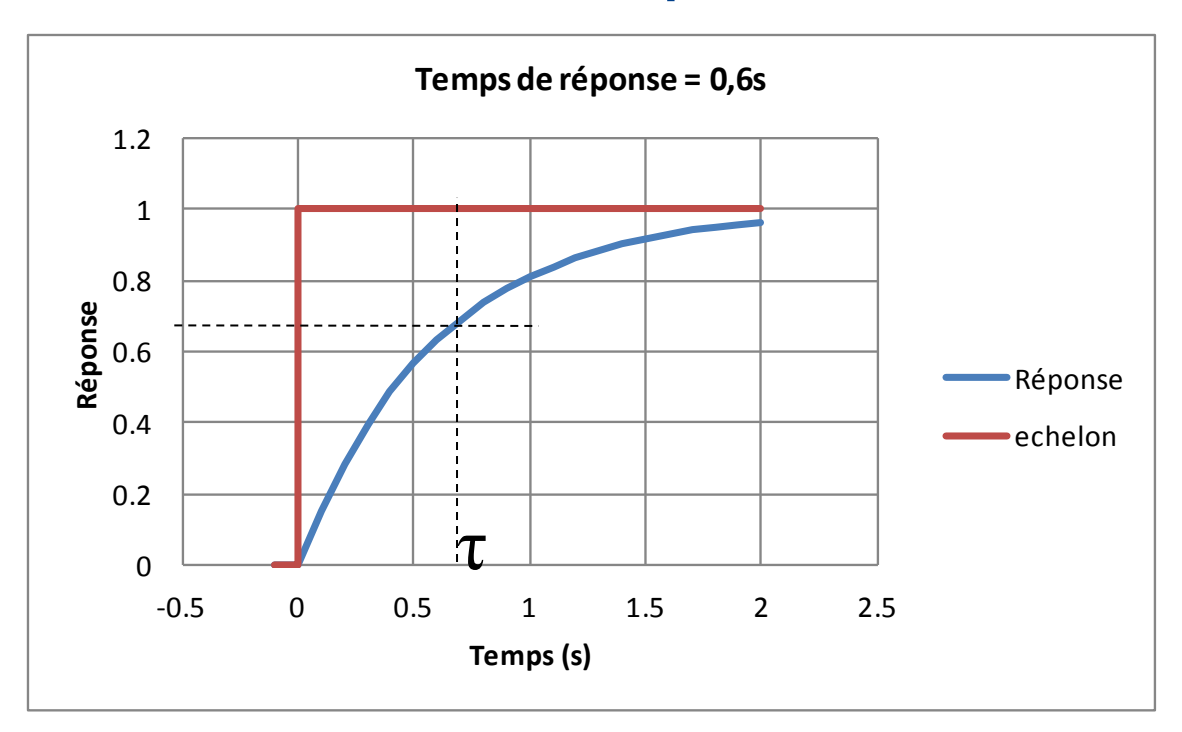


Simulation de la T interface plutôt bonne ; Simulation des T des volumes plus élevés et échauffement plus rapide



## COMPARAISON EXPÉRIMENTALE-NUMÉRIQUE

Prise en compte du temps de réponse du capteur (thermocouple) par un modèle d'échauffement par conduction linéaire



$$\frac{dT_{TC}}{dt} = C \times [T_{\text{reel}} - T_{TC}]$$

$$T_{TC} = T_{\text{reel}} \times \left[1 - \exp\left(-\frac{t}{\tau}\right)\right]$$

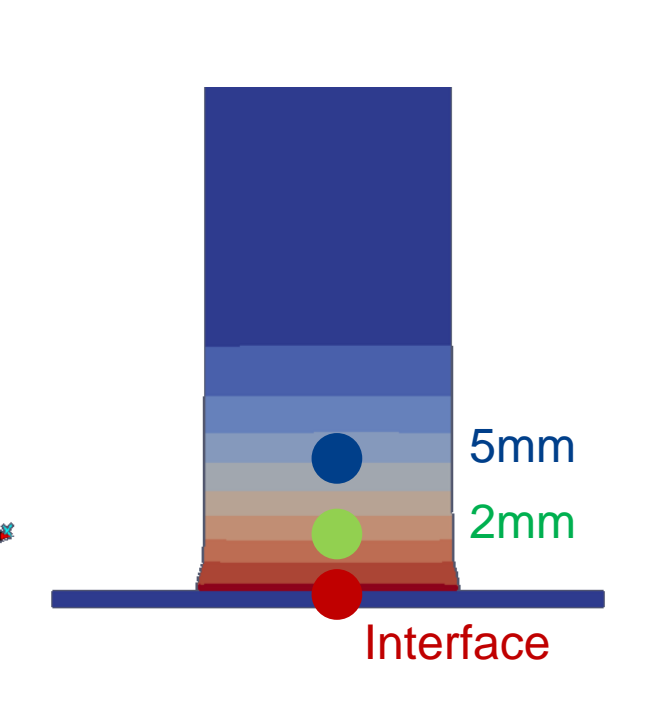


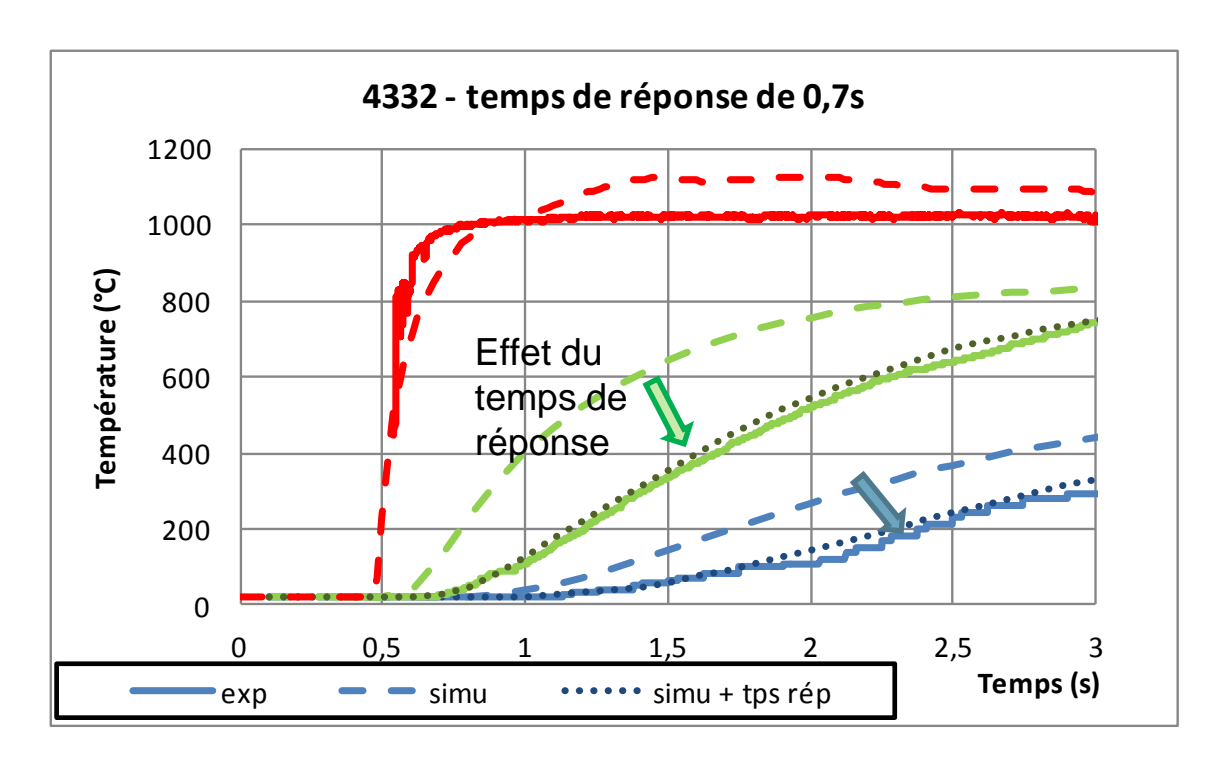
Le temps de réponse induit un retard à l'échauffement et des température mesurée plus basse qu'en réalité



## COMPARAISON EXPÉRIMENTALE-NUMÉRIQUE

#### → Prise en compte du temps de réponse







La prise en compte du temps de réponse explique entièrement les différences observées



#### **CONCLUSIONS**

- → La simulation du soudage friction peut être réalisée à l'aide d'un modèle simplifié où la friction est remplacée par une source équivalente de chaleur et des forces de friction
- Importance de coupler dès la construction du modèle l'approche numérique et l'approche expérimentale
- Importance de bien prendre en compte la physique de la mesure ou de modéliser la mesure

